

1. Podstawy przetwarzania i sterowania cyfrowego {1}	[4]
1.1. Ogólna charakterystyka sygnałów i układów dyskretnych {1}	
1.2. Metody analizy układów dyskretnych {1}	
1.3. Metody opisu układów dyskretnych i cyfrowych {1}	
2. Układy dyskretnie	[8]
2.1. Podstawowe własności układów dyskretnych	
2.1.1. Niezmienniczość {1/2}	
2.1.2. Liniowość {1/2}	
2.1.3. Przyczynowość {1}	
2.2. Opis układów dyskretnych za pomocą równań różniczkowych	
2.2.1. Układy nierekursywne {1}	
2.2.2. Układy rekursywne {1}	
2.3. Inne sposoby opisu układów dyskretnych	
2.3.1. Schematy blokowe i grafy {1}	
2.3.2. Równania stanu {1}	
2.3.2.1. Układy SISO {1}	
2.3.2.2. Wyznaczanie odpowiedzi {1}	
3. Przekształcenie Z	[11]
3.1. Wprowadzenie: sygnały deterministyczne {1}	
3.2. Przekształcenie dwustronne	
3.2.1. Szereg Laurenta {2}	
3.2.2. Własności {1}	
3.3. Przekształcenie jednostronne {1}	
3.4. Przekształcenie wielowymiarowe {1}	
3.5. Zmodyfikowane przekształcenie Z {1}	
3.6. Odwrotne przekształcenie Z {2}	
3.7. Zastosowania: funkcja przenoszenia na podstawie r. różn., r. stanu, grafu {2}	
4. Stabilność układów dyskretnych	[8]
4.1. Warunki konieczne {1 1/2} i kryteria stabilności {1/2}	
4.2. Metoda płaszczyzny w {1/2}	
4.3. Metody częstotliwościowe {1/2}	
4.4. Kryterium Nyquista {1}	
4.5. Kryterium Jury`ego	
4.5.1. Wyznacznikowe {2}	
4.5.2. Tablicowe {1}	
4.5.3. Ilorazowe {1}	
5. Analiza widmowa sygnałów	[11]
5.1. Transformacje proste i odwrotne	
5.1.1. Sygnałów ciągłych, nie/okresowych {1}	
5.1.2. Sygnałów dyskretnych nie/okresowych {1}	
5.1.3. Zastosowanie przekształcenia Z {1/2}	

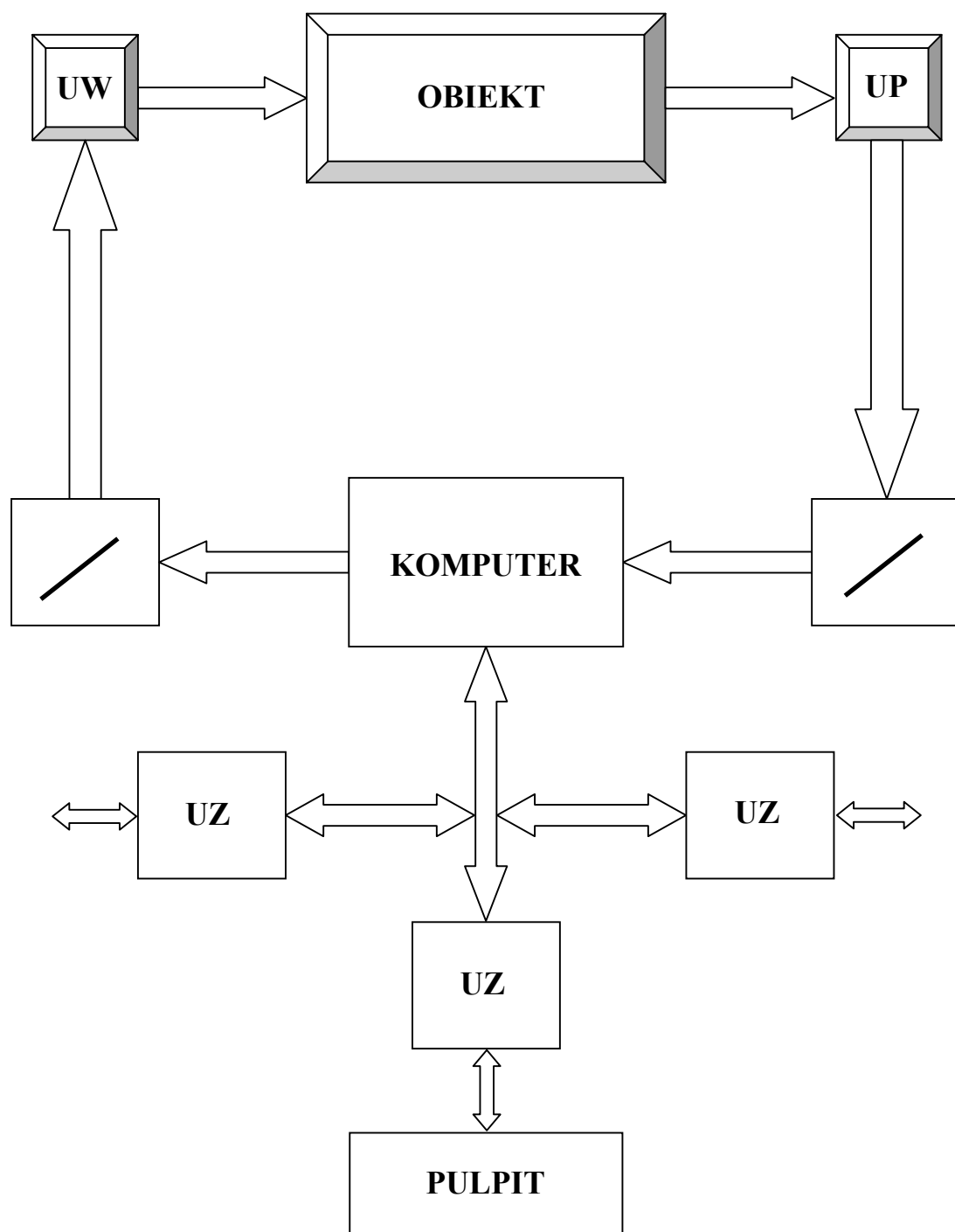
- 5.1.4. Sygnały impulsowe {1/2}
- 5.2. Twierdzenie o próbkowaniu
- 5.2.1. Związek widm s. dyskretnych i ciągłych {1}
- 5.2.2. Twierdzenie Shannona {1}
- 5.3. Dyskretnie przekształcenie Fouriera
- 5.3.1. Definicje i interpretacje DFT {1}
- 5.3.2. Zastosowanie przekształcenia Z {1}
- 5.3.3. Szybka transformata – FFT obliczenia motylkowe, sortowanie, grupowanie {4}

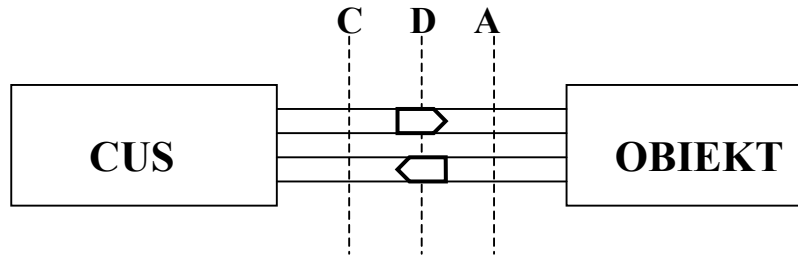
- 6. Teoria dyskretnych układów liniowych [35]
- 6.1. Osiągalność i sterowalność {1}
- 6.1.1. Warunki sterowalności {3}
- 6.2. Odtwarzalność i obserwowalność {1}
- 6.2.2. Warunki obserwowalności {3}
- 6.3. Stabilizowalność {1}
- 6.4. Kompletny opis układów {3}
- 6.5. Przekształcenia tożsamościowe {1}
- 6.5.1. Zasady {1}
- 6.5.2. Interpretacja graficzna i algebraiczna {1 ½}
- 6.5.3. Wyznaczanie transformacji podobieństwa {1 ½}
- 6.5.4. Własności układów podobnych {2}
- 6.6.1. Postać diagonalna (i macierz Van der Monde'a) {2}
- 6.6.1.1. Metoda wyznacznikowa {2}
- 6.6.1.1.2. Metoda wektorów własnych {2}
- 6.6.1.1.3. Metoda transmitancyjna {1+}
- 6.6.2. Postać normalna regulatorowa {1}
- 6.6.2.1. Wyznaczanie macierzy transformacji {1}
- 6.6.3. Postać normalna obserwatorowa {1}
- 6.6.3.1. Wyznaczanie macierzy transformacji {1}
- 6.6.4. Postać normalna sterowalna {1}
- 6.6.4.1. Wyznaczanie macierzy transformacji {1}
- 6.6.2. Postać normalna obserwowalna {1}
- 6.6.2.1. Wyznaczanie macierzy transformacji {1}

***PODSTAWY
STEROWANIA
KOMPUTEROWEGO***

Z. KOWALCZUK

Podstawowe elementy CUS





(U. HYBRYD.)

Sygnały

- **analogowe** $x(t)$
 - **kształt**
 - **energia**
 - $x \ \& \ t \in$ **zbiór mocy continuum**
- **dyskretne** $x(t_i) = x(i)$
 - **kształt**
 - $x \in C_x \quad t_i \in D_t$
- **cyfrowe** $\underline{x}(i)$
 - **kształt**
 - $\underline{x} \in D_x \quad i \in D_i$

Układy

- **jednorodne**
- **niejednorodne (hybrydowe)**

→ **Analiza układów jednorodnych**

Metody analizy CUS:

- (MC) m. czasu ciągłego
- (MD) m. czasu dyskretnego

(CUS + KA)	→	(MC)
(OBIEKT + KA)	→	(MD)

Metoda czasu ciągłego (obiektowy p. w.)

- złożona analiza układów hybrydowych
- stosowany sposób projektów
(projekt, d. aproksymacja
c. implementacja)

Metoda czasu dyskretnego (komputerowy p. w.)

- prosta analiza układu hybrydowego
po ustaleniu okresu próbkowania)
- problematyczne wyniki syntezy
 - ustalenie okresu próbkowania
 - istnienie ef. nieuchwytnych.

Metody opisu UC (U.D.)

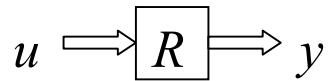
- **Metody opisu układów dyskretnych (impulsowych)**
 - podstawowe znaczenie
 - $UC \approx UD$ (ogran. dokładność)
- **Funkcje logiczne (algebra Boole'a)**
 - technika cyfrowa (proste elem. m. c.)
 - elementy języków programowania (niskiego i wysokiego rzędu, systemy ekspertowe)
- **Metody numeryczne i języki programowania**
 - „rozwinięcie” algebry Boole'a
 - stosowne do opisu UC i modelowania
 - perspektywy (rozwój zastosowań m. c., standaryzacja języków komput.).

UKŁADY DYSKRETNE

$$\tilde{y}(t_n) = R\tilde{u}(t_n)$$

$$\tilde{y}(nT) = R\tilde{u}(nT)$$

$$y(n) = Ru(n)$$

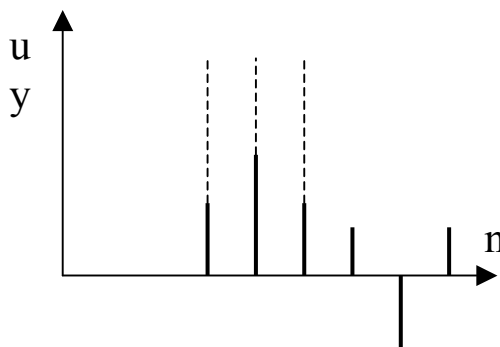
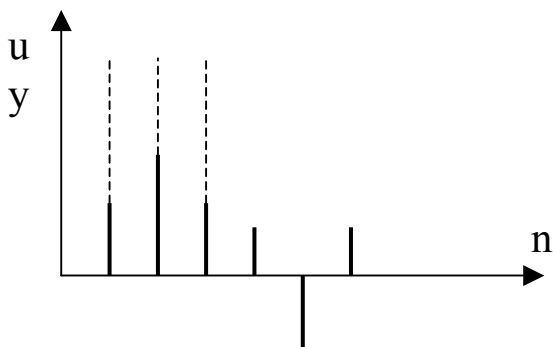


$$\tilde{f}(nT) \stackrel{\Delta}{=} f(n)$$

• NIEZMIENNICZOŚĆ N

$$R: u(n) = y(n) = 0 \text{ dla } n < 0 \quad (\text{st. spocz.})$$

$$R \in N \Leftrightarrow Ru(n-k) = y(n-k) \quad \forall u \quad \forall k \geq 0$$



• LINIOWOŚĆ L

$$R \in L \Leftrightarrow w.l.$$

$$w.l. \left\{ \begin{array}{l} R\alpha u(n) = \alpha Ru \\ R[u_1(n) + u_2(n)] = Ru_1(n) + Ru_2(n) \end{array} \right.$$

$$w.l. \{ R[\alpha u_1 + \beta u_2] = \alpha Ru_1 + \beta Ru_2$$

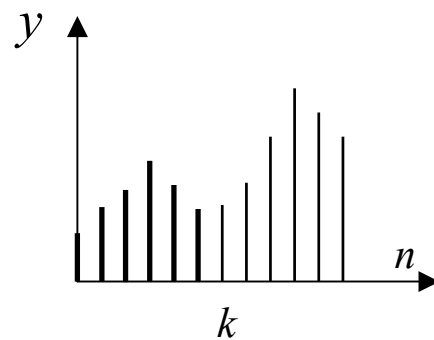
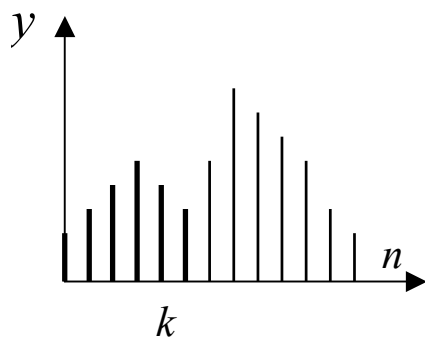
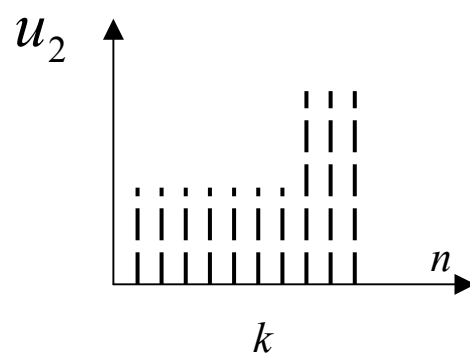
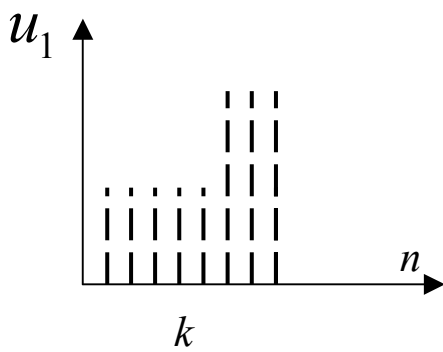
$$\forall u, u_1, u_2 \in D, \alpha, \beta \in \mathbf{R}$$

• **PRZYCZYNOWOŚĆ P**

$$R \in \mathcal{P} \Leftrightarrow Ru_1(n) = Ru_2(n) \quad \forall n \leq k \quad \forall u_1(n), u_2(n) \in D :$$

$$u_1(n) = u_2(n) \quad \text{dla} \quad n \leq k$$

$$u_1(n) \neq u_2(n) \quad \text{dla} \quad n > k$$



UKŁADY NIEREKURSYWNE

$$y(n) = R\{..., u(n-1), u(n), u(n+1), ...\}$$

- $R \in L, R \in N \Rightarrow$

$$y(n) = R\{...\} = \sum_{i=-\infty}^{+\infty} a_i u(n-i)$$

- $R \in P \Rightarrow$

$$y(n) = \sum_{i=0}^{\infty} a_i u(n-i)$$

- $\left\{ \begin{array}{l} u(n) = 0 \text{ dla } n < 0 \\ \text{oraz} \\ a_i = 0 \text{ dla } i > N \end{array} \right\} \Rightarrow$

$$\begin{aligned} y(n) &= \sum_{i=0}^n a_i u(n-i) + \sum_{j=1}^{\infty} a_i u(-j) = \\ &= \sum_{i=0}^N a_i u(n-i) \end{aligned}$$

Liniowy, niezmienniczy czasowo, przyczynowy układ nierekursywny opisuje r. różnicowe N-tego rzędu (F. POPRZECZNY)

UKŁADY REKURSYWNE

$$y(n) = R\{..., u(n-1), u(n), u(n+1)... \\ ..., y(n-1), y(n), y(n+1)...\}$$

$$R \in \mathbf{L}, \mathbf{N}, \mathbf{P}$$

$$y(n) = \sum_{i=0}^N a_i u(n-i) - \sum_{i=1}^M b_i y(n-i)$$

Split

$$u(n) = \sum_{k=-\infty}^{+\infty} u_k(n) = \sum_{k=-\infty}^{+\infty} u(k) \delta(n-k)$$

$$\delta_{n,k} = \delta(n-k)$$

Odpowiedź impulsowa:

$$h(n) = R \delta(n) \quad \Rightarrow$$

$$y(n) = Ru(n) = R \sum_k u(k) \delta(n-k) =$$

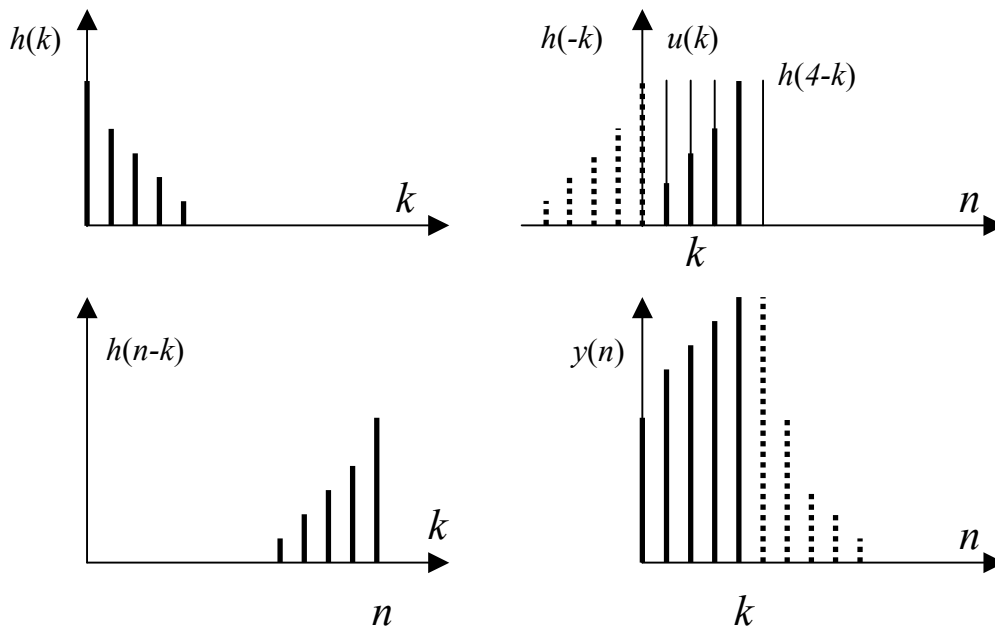
$$= \sum_k u(k) R \delta(n-k) = \sum_k u(k) h(n-k)$$

$$R \in P \Rightarrow y(n) = \sum_{k=-\infty}^n h(k) u(n-k)$$

$$\text{tzn. dla } u(n) = 0, n < 0$$

$$y(n) = \sum_{k=0}^n u(k) h(n-k) = \sum_{k=0}^n h(k) u(n-k) = \\ = h(n) * u(n)$$

GRAFICZNA REALIZACJA SPLOTU



Stabilność \mathcal{S}

$$(\Delta) \quad R \in \mathcal{S} \Leftrightarrow$$

$$\forall u \left(\forall n, |u(n)| \leq M < \infty \Rightarrow \forall n, |y(n)| < \infty \right)$$

$$R \in \mathcal{L}, \mathcal{N}, \mathcal{P} \Rightarrow$$

$$(*) \quad (R \in \mathcal{S} \Leftrightarrow l_1 \stackrel{\Delta}{=} \sum_{k=0}^{\infty} |h(k)| < \infty)$$

$$|y(n)| = |h * u| \leq \sum_{k=0}^{\infty} |h(k)| |u(n-k)| \leq M \sum_{k=0}^{\infty} |h(k)| = M \cdot l_1$$

Przykład

$$h(n) = \alpha^n 1(n) \quad (R \in \mathcal{L}, \mathcal{P}, \mathcal{N})$$

$$l_1 = \sum_{k=0}^{\infty} |\alpha|^k = \frac{1}{1-|\alpha|} \Leftrightarrow |\alpha| < 1$$

OPIS GRAFOWY/BLOKOWY

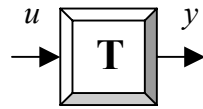
ELEMENT

BLOK

GRAF

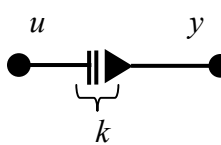
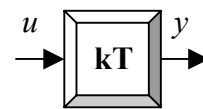
R-NIE

Opóźnienie



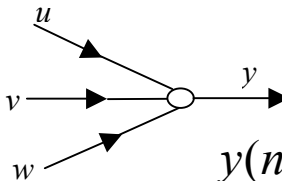
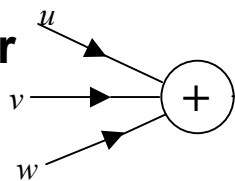
$$y(n) = u(n - 1)$$

Opóźnienie wielokrotne



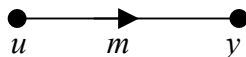
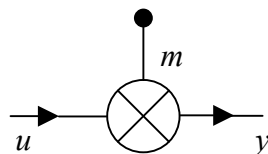
$$y(n) = u(n - k)$$

Sumator



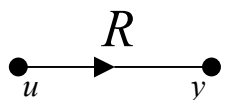
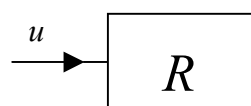
$$y(n) = u(n) + v(n) + w(n)$$

Mnożnik



$$y(n) = mu(n)$$

Układ



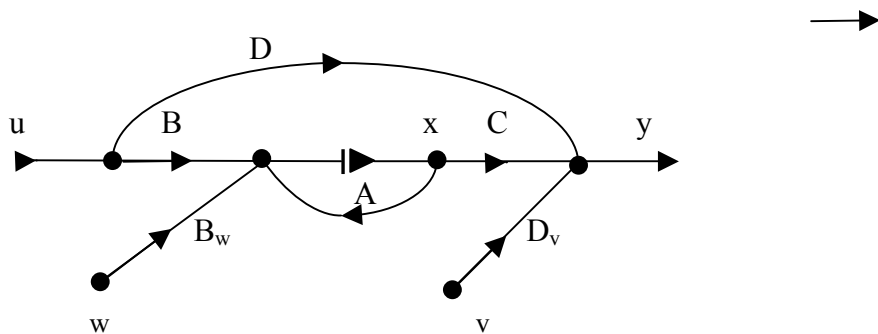
$$y(n) = Ru(n)$$

Równania stanu

$$R \begin{cases} \mathbf{x}(n+1) = f(\mathbf{x}(n), \mathbf{u}(n), \mathbf{w}(n)) \\ \mathbf{y}(n) = g(\mathbf{x}(n), \mathbf{u}(n), \mathbf{v}(n)) \end{cases}$$

$$R \in L, N, P$$

$$\begin{cases} \mathbf{x}(n+1) = \mathbf{A}\mathbf{x}(n) + \mathbf{B}\mathbf{u}(n) + \mathbf{B}_w \mathbf{w}(n) \\ \mathbf{y}(n) = \mathbf{C}\mathbf{x}(n) + \mathbf{D}\mathbf{u}(n) + \mathbf{D}_v \mathbf{v}(n) \end{cases}$$



$M(n) = M \rightarrow$ niezmienniczość
(stacjonarność)

UKŁADY STOCHASTYCZNE

(\mathbf{w} , \mathbf{v} - s. przypadkowe)

Dyskretny proces Gaussa-Markowa

$$\mathbf{x}_{n+1} = \mathbf{A}_n \mathbf{x}_n + \mathbf{B}_n \mathbf{w}_n$$

$$\mathbf{y}_n = \mathbf{C}_n \mathbf{x}_n + \mathbf{v}_n$$

$\{\mathbf{w}_n\}, \{\mathbf{v}_n\}$ - nieskorelowany stacjonarny proces
stoch. z wart. średnią = 0
(biały szum)

UKŁADY SISO

$$\mathbf{x}(n+1) = \mathbf{A} \mathbf{x}(n) + \mathbf{b} u(n)$$

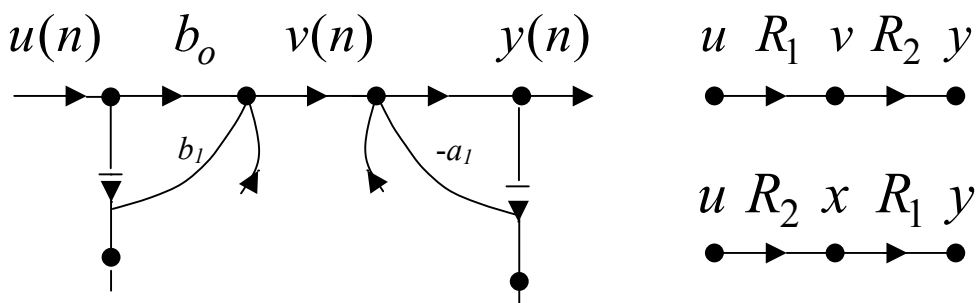
$$y(n) = \mathbf{c} \mathbf{x}(n) + \mathbf{d} u(n)$$

r.r. rzędu $N \longrightarrow N$ r.r. 1 – rzędu

$$y(n) = \underbrace{\sum_{i=0}^N b_i u(n-i)}_{v(n)} - \sum_{i=1}^N a_i y(n-i)$$

$$v(n) = R_1 u(n) = \sum_{i=0}^N b_i u(n-i)$$

$$y(n) = R_2 v(n) = v(n) - \sum_{i=1}^N a_i y(n-i)$$



$$x(n) = R_2 u(n) = u(n) - \sum_{i=1}^N a_i x(n-i)$$

$$y(n) = R_1 x(n) = \sum_{i=1}^N b_i x(n-i) + b_o x(n)$$

$$= b_o u(n) + \sum_{i=1}^N (b_i - b_o a_i) x(n-i)$$

$$\mathbf{x}(n) = \begin{bmatrix} x(n-N) \\ x(n+1-N) \\ \cdot \\ \cdot \\ x(n-2) \\ x(n-1) \end{bmatrix} \quad \mathbf{A} = \begin{bmatrix} 0 & 1 & 0 & .. & 0 \\ 0 & 0 & 1 & .. & 0 \\ \cdot & \cdot & & & \cdot \\ \cdot & \cdot & & & \cdot \\ \cdot & \cdot & & & 1 \\ -a_N & -a_{N-1} & .. & .. & -a_1 \end{bmatrix}$$

$$\mathbf{b} = \begin{bmatrix} 0 \\ 0 \\ \cdot \\ \cdot \\ 0 \\ 1 \end{bmatrix} \quad \mathbf{c} = \begin{bmatrix} b_N - b_o a_N \\ \cdot \\ \cdot \\ \cdot \\ \cdot \\ b_1 - b_o a_1 \end{bmatrix}$$

$$\mathbf{d} = [b_o]$$

p. regulatorowa

Wyznaczanie odpowiedzi

$$\mathbf{x}(1) = \mathbf{A} \mathbf{x}(0) + \mathbf{b} u(0)$$

$$\mathbf{x}(2) = \mathbf{A} \mathbf{x}(1) + \mathbf{b} u(1) =$$

$$= \mathbf{A}^2 \mathbf{x}(0) + \mathbf{A} \mathbf{b} u(0) + \mathbf{b} u(1)$$

\vdots

$$\mathbf{x}(n) = \mathbf{A}^n \mathbf{x}(0) + \sum_{k=0}^{n-1} \mathbf{A}^{n-1-k} \mathbf{b} u(k)$$

$$\mathbf{A}^0 \equiv \mathbf{I}_{N \times N}$$

$$y(n) = \mathbf{c} \mathbf{x}(n) + \mathbf{d} u(n) =$$

$$= \mathbf{c} \mathbf{A}^n \mathbf{x}(0) + \mathbf{c} \sum_{k=0}^{n-1} \mathbf{A}^{n-1-k} \mathbf{b} u(k) + \mathbf{d} u(n)$$

Odpowiedź impulsowa [$\mathbf{x}(0)=0$]

$$g(n) = \mathbf{c} \sum_{k=0}^{n-1} \mathbf{A}^{n-1-k} \mathbf{b} \delta(k) + \mathbf{d} \delta(n)$$

$$g(n) = \begin{cases} \mathbf{d} & dla \quad n=0 \\ \mathbf{c} \mathbf{A}^{n-1} \mathbf{b} & dla \quad n=1, 2, \dots \end{cases} \quad \mathbf{d} = [b_0]$$

Odpowiedź skokowa

$$h(n) = \mathbf{c} \sum_{k=0}^{n-1} \mathbf{A}^{n-1-k} \mathbf{b} + \mathbf{d}$$

Dyskretne sygnały zdeterminowane

Impuls jednostkowy

$$\delta(nT) = \delta(n) = \delta_{n,0}$$

$$\delta_{n,k} = \begin{cases} 1 \Leftrightarrow n=k \\ 0 \Leftrightarrow n \neq k \end{cases}$$

Uskok jednostkowy

$$1(nT) = 1(n) = l(nT) = 1 \quad n \geq 0$$

Sinusoida

$$u(n) = u_o \sin(\Omega n + \varphi) \quad \Omega \overset{\text{unorm. dyskretna puls.}}{=} \omega T$$

p. zespolona: $u(n) = u_o e^{j\Omega n} \quad \varphi = 0$

s. dyskretny względem n

s. ciągły względem Ω

s. okresowy względem Ω

$$e^{j(\Omega+2\pi)n} = e^{j\Omega n + j2\pi n} = e^{j\Omega n}$$

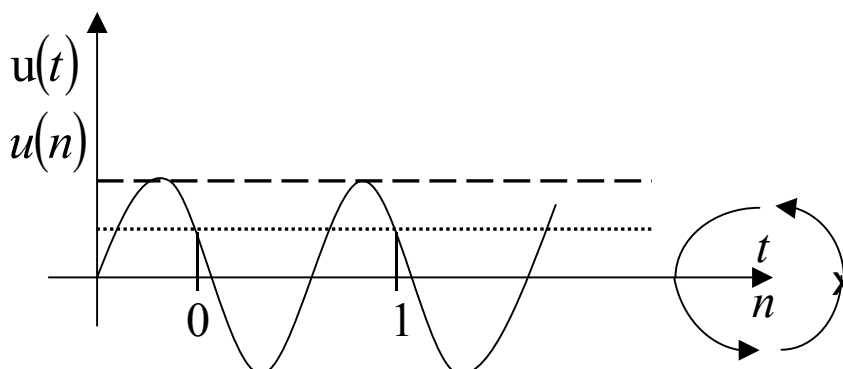
dyskretna pulsacja próbkowania \equiv okres

$$\Omega_T = \omega_T T = \frac{2\pi}{T} T = 2\pi$$

s. okresowy względem n

$$e^{j\Omega n} = e^{j(\Omega n + 2\pi N)} = e^{j\Omega(n+n_o)} \quad \text{o okresie } n_0 \in D_n$$

$$n_0 = \frac{2\pi}{\Omega} N = \frac{2\pi}{\omega T} N = \frac{\tau}{T} N \quad \tau = \frac{2\pi}{\omega}$$



Przekształcenie Z

Dwustronna z -transformata funkcji d.t. $f(n)$

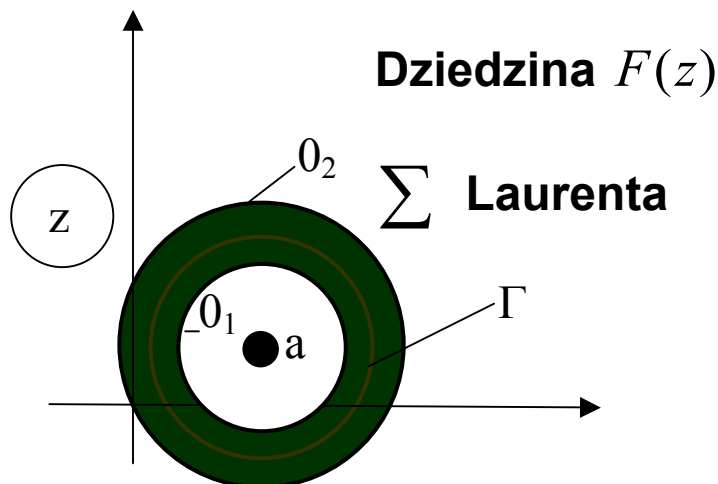
$$Z\{f(n)\} = \sum_{n=-\infty}^{+\infty} f(n) z^{-n} = F(z)$$

operator $\{z\}$

$z \in \chi_z^F$ – obszar zbieżności

Twierdzenie Laurenta

1. Jeśli $F(z)$ jest f. analityczną na dwu koncentrycznych okręgach 0_1 i 0_2 (o środku w a) i w pierścieniu między nimi



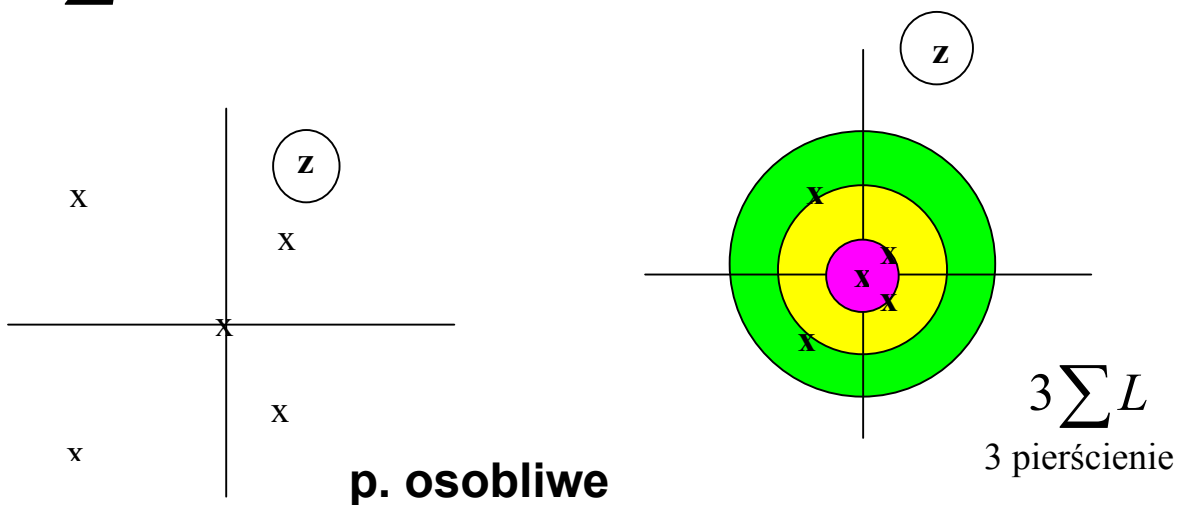
to $F(z)$ można (jednoznacznie) rozwinąć w szereg Laurenta ($\sum L$)

$$F(z) = \sum_{n=-\infty}^{+\infty} f_n (z-a)^{-n}$$

$$f_n = \frac{1}{2\pi j} \oint_{\Gamma} F(z) (z-a)^{n-1} dz$$

2. $\sum L$ jest zbieżny i reprezentuje $F(z)$ w otwartym pierścieniu: $r(0_1) \downarrow, r(0_2) \uparrow$ aż osiągną punkty osobliwości

3. $\sum L$ w swoim pierścieniu jest jednoznaczny. Zaś $F(z)$ w różnych pierścieniach ma różne $\sum L$.



z -transformata jest $\sum L$ dla $F(z)$ wokół $z=0$

(*) Funkcje meromorficzne

jedyne osobliwości dla $|z| \leq \infty$ to bieguny

(*) $\neq \sum L$; dlatego będziemy zakładać, że z -transf. jest $\sum L$ zbieżnym w otwartym pierścieniu

$$r_1 < |z| < r_2 \rightarrow \infty$$

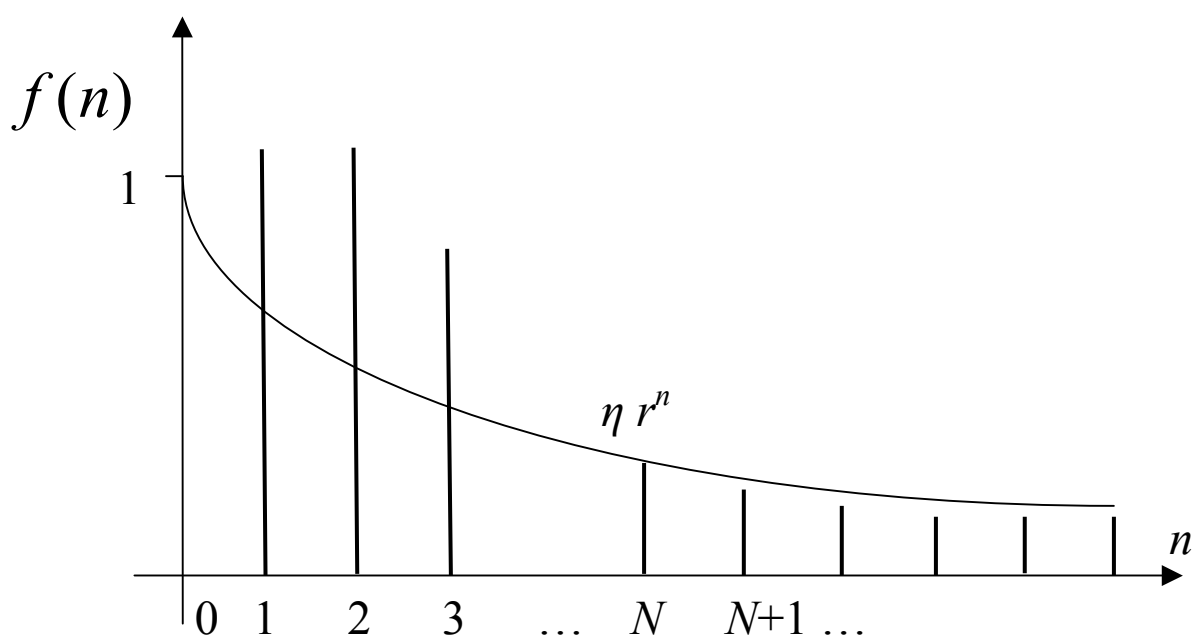
promień okręgu przechodzącego przez najbardziej odległy od p. $z=0$ biegun $F(z)$

(*) **Jeśli** $f(n)=0$ dla $n < 0$, **ograniczona dla**

$$\infty > n \geq 0 \text{ i } |f(n)| \leq \eta r^n \text{ dla } n \geq N$$

gdzie $\eta, r, N > 0$

to $\sum L$ (z-transf.) **jest zbieżny dla** $|z| > r$



Własności przekształcenia Z

- **Liniowość**

$$Z\{a f(n) + b g(n)\} = a F(z) + b G(z) \quad a, b \in \mathbb{R}$$

- **Przesunięcie**

$$Z\{f(n+m)\} = z^m F(z) \quad m \in \text{Int}$$

- **Skalowanie zespolone**

$$Z\{w^{-n} f(n)\} = F(wz)$$

- **Różniczkowanie zespolone**

$$Z\{n f(n)\} = -z \frac{d}{dz} F(z)$$

$$Z\{nT f(nT)\} = -Tz \frac{d}{dz} F(z)$$

- **Splot rzeczywisty**

$$Z\left\{\sum_{k=-\infty}^{+\infty} f(k) g(n-k)\right\} = F(z) G(z)$$

Jednostronne przekształcenie \mathcal{Z}

$$\mathcal{Z} f(n) = \sum_{n=0}^{\infty} f(n) z^{-n} = F(z)$$

- **Przesunięcie**

$$m \in \mathcal{J}_+ = \mathcal{N}$$

Jeśli $f(n)=0$ dla $n<0$ **to**

$$() \quad \mathcal{Z} f(n+m) = z^m \left[F(z) - \sum_{k=0}^{m-1} f(k) z^{-k} \right]$$

$$() \quad \mathcal{Z} f(n-m) = z^{-m} F(z)$$

- **Splot rzeczywisty**

$$\mathcal{Z} \sum_{k=0}^n f(k) g(n-k) = \mathcal{Z} \sum_{k=0}^n f(n-k) g(k) = F(z) G(z)$$

- **Wartość początkowa oryginału**

$$f(0^+) = \lim_{z \rightarrow \infty} F(z)$$

- **Wartość końcowa oryginału**

$$\textbf{Jeśli} \quad \lim_{n \rightarrow \infty} f(n) = f_{\infty}$$

$$\textbf{to} \quad f_{\infty} = \lim_{z \rightarrow 1} (z-1) F(z)$$

Sygnały wielowymiarowe

$$u(t, x, y)$$

→ **s. trójwymiarowy (analogowy obraz)**

s. dyskretny (T, X, Y)

$$u(kT, mX, nY) = u(k, m, n)$$

Przekształcenie \mathcal{Z}_3

$$\mathcal{Z}_3 u(k, m, n) = \sum_{k=0}^{\infty} \sum_{m=0}^{\infty} \sum_{n=0}^{\infty} u(k, m, n) z_1^{-k} z_2^{-m} z_3^{-n}$$

Splot zespolony (w dziedzinie częstotliwości)

$$\begin{aligned} Y(z) = Z[f(n)g(n)] &= \frac{1}{2\pi j} \oint_{\Gamma_1} F(v) G\left(\frac{z}{v}\right) \frac{dv}{v} = \\ &= \frac{1}{2\pi j} \oint_{\Gamma_2} G(v) F\left(\frac{z}{v}\right) \frac{dv}{v} \end{aligned}$$

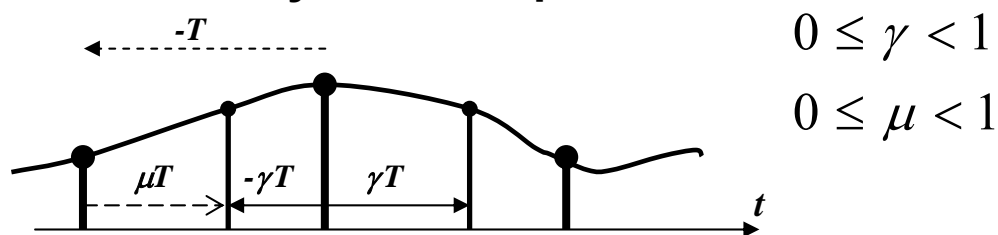
Γ_1 - kontur⁺ we wspólnym obszarze zbieżności
 $F(v)$ i $G(z/v)$ ($\Gamma_2 : F(z/v)$ i $G(v)$)

Jeśli Γ_2 - obszar zbieżności, $v = \varsigma e^{j\Theta}$, $z = re^{j\phi}$

$$Y(re^{j\phi}) = \frac{1}{2\pi} \int_0^{2\pi} F\left(\frac{r}{\varsigma} e^{j(\phi-\Theta)}\right) G(\varsigma e^{j\Theta}) d\Theta$$

(całka splotowa) $\hat{Y}(\phi) = \frac{1}{2\pi} \int_0^{2\pi} \hat{F}(\phi-\Theta) \hat{G}(\Theta) d\Theta$

Zmodyfikowane przekształcenie \mathcal{Z}



$$0 \leq \gamma < 1$$

$$0 \leq \mu < 1$$

$$\begin{array}{ccc} (k-1)T & & kT \\ \downarrow & & \downarrow \\ t = kT - \gamma T & & t = kT + \gamma T \end{array}$$

$$\begin{aligned} t = kT - \gamma T &= (k-1)T + \mu T = kT + (\mu-1)T = \\ &= [k + (\mu-1)]T \end{aligned}$$

$$\mathcal{Z}_\gamma f(t) = \sum_{n=0}^{\infty} f(nT + \gamma T) z^{-n} = F(z, \gamma)$$

$$\mathcal{Z}_\mu f(t) = \sum_{n=1}^{\infty} f(nT - T + \mu T) z^{-n}$$

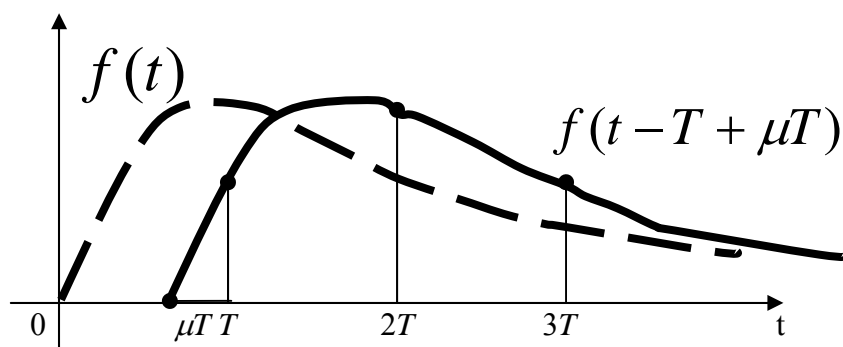
$$= z^{-1} \sum_{n=0}^{\infty} f(nT + \mu T) z^{-n} = F(z, \mu) = z^{-1} F(z, \gamma) \Big|_{\gamma := \mu}$$

$$F(z) = \lim_{\gamma \rightarrow 0} F(z, \gamma)$$

$$= \lim_{\mu \rightarrow 0} z F(z, \mu) = \lim_{\mu \rightarrow 1} F(z, \mu)$$

dla $f(0)=0$

$$= \lim_{\mu \rightarrow 1} F(z, \mu)$$



Odwrotne przekształcenie \mathcal{Z}

Ponieważ $\mathcal{Z} \left(\sum L \right)$ jest zbieżny w pierścieniu

$|z_i|_{\max} \leq |z| \leq r_2 \rightarrow \infty$ oryginal \mathcal{Z}

może być jednoznacznie określony:

$$f(n) = \frac{1}{2\pi j} \oint_{\Gamma} F(z) z^{n-1} dz = \mathcal{Z}^{-1} F(z)$$

Γ – kontur⁺ obejmujący wszystkie osobliwości (bieguny) $F_n(z)$:

$$\text{Jeśli } F_n(z) \stackrel{\Delta}{=} F(z) z^{n-1} = \frac{N(z)}{D(z)} = \frac{N(z)}{\prod_{i=1}^k (z - z_i)^{m_i}}$$

$i, k, m_i \in \mathbb{Z}_+$

wówczas

$$f(n) = \sum_{i=1}^k \text{res}_{z=z_i} [F_n(z)]$$

gdzie

$$\text{res}_{z=z_i} [F_n(z)] =$$

$$= \frac{1}{(m_i - 1)!} \lim_{z \rightarrow z_i} \frac{d^{m_i-1}}{dz^{m_i-1}} [(z - z_i)^{m_i} F_n(z)]$$

$$\text{res}_{z=z_i} [F_n(z)] = \lim_{z \rightarrow z_i} (z - z_i) F_n(z) = \left[\frac{N(z)}{D'(z)} \right]_{z=z_i}$$

Uwaga:

- dla $n = 0$, $F_n(z) \leftarrow$ biegun $z_i = 0$
- dla $n < 0$, bieguny wielokrotne!
 $f(0) f(-1) f(-2) \dots$

Odwrotne przekształcenie \mathcal{Z} (c.d.)

Metody wyznaczania \mathcal{Z}^{-1}

- Porównanie współczynników (m. tablicowa)

$$F_o(z, \alpha, \beta, \gamma, \dots) \sim F(z)$$

- Rozkład na ułamki proste

$$\mathcal{Z}^{-1} F(z) = \mathcal{Z}^{-1} \sum_{k=1}^K F_k(z) = \sum_{k=1}^K \mathcal{Z}^{-1} F_k(z)$$

- Dwumianowe rozwinięcie funkcji jednobiegunowej

$$\begin{aligned} F(z) &= \frac{x}{z-w} = \frac{x}{z} \frac{1}{1-wz^{-1}} = \frac{x}{z} (1 + wz^{-1} + w^2 z^{-2} + \dots) \\ &= x \sum_{n=1}^{\infty} w^{n-1} z^{-n} = \sum_{n=1}^{+\infty} (xw^{n-1}) z^{-n} \end{aligned}$$

- Splot rzeczywisty

$$\mathcal{Z}^{-1} [F(z)G(z)] = \sum_{k=-\infty}^{+\infty} f(k)g(n-k)$$

- Dzielenie wielomianowe

$$F(z) = \frac{F_1(z)}{F_2(z)} = \dots \alpha + \beta z^{-1} + \gamma z^{-2} + \dots$$

Zastosowania transformacji \mathcal{Z}

Funkcja przenoszenia

Niech $R \in \mathcal{L}, \mathcal{N}$

$$y(n) = \sum_{k=-\infty}^{+\infty} u(k)h(n-k) \quad | \mathcal{Z}$$

$$Y(z) = H(z)U(z)$$

$$H(z) = \frac{Y(z)}{U(z)}$$

Niech $R \in \mathcal{P}$

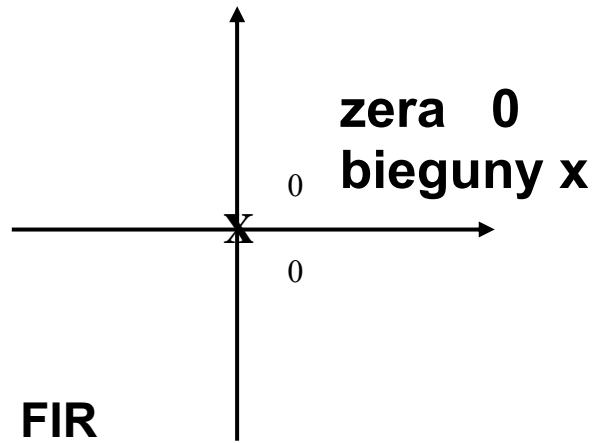
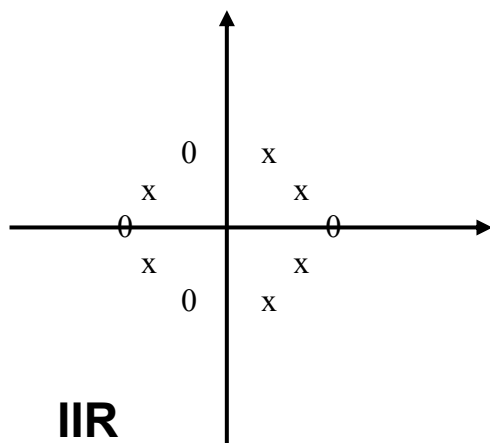
- równanie różnicowe

$$y(n) = \sum_{k=0}^N b_k u(n-k) - \sum_{k=1}^N a_k y(n-k) \quad | \mathcal{Z}$$

$$\mathcal{Z} y = \sum_{k=0}^N b_k z^{-k} \mathcal{Z} u - \sum_{k=1}^N a_k z^{-k} \mathcal{Z} y$$

$$H(z) = \frac{\mathcal{Z} y}{\mathcal{Z} u} = \frac{\sum_{k=0}^N b_k z^{N-k}}{z^N + \sum_{k=1}^N a_k z^{N-k}}$$

$$H(z) = \frac{H_o \prod_{k=1}^N (z - z_k^0)}{\prod_{k=1}^N (z - z_k)}$$



- równania stanu

$$\mathbf{x}(n+1) = \mathbf{A} \mathbf{x}(n) + \mathbf{B} \mathbf{u}(n)$$

$$\mathbf{y}(n) = \mathbf{C}^T \mathbf{x}(n) + \mathbf{D} \mathbf{u}(n)$$

$$z\mathbf{X}(z) = \mathbf{A} \mathbf{X}(z) + \mathbf{B} \mathbf{U}(z)$$

$$\mathbf{Y}(z) = \mathbf{C}^T \mathbf{X}(z) + \mathbf{D} \mathbf{U}(z)$$

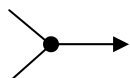
$$\mathbf{X}(z) = (z\mathbf{I} - \mathbf{A})^{-1} \mathbf{B} \mathbf{U}(z)$$

$$\mathbf{H}(z) = \mathbf{C}^T (z\mathbf{I} - \mathbf{A})^{-1} \mathbf{B} + \mathbf{D}$$

- graf liniowy



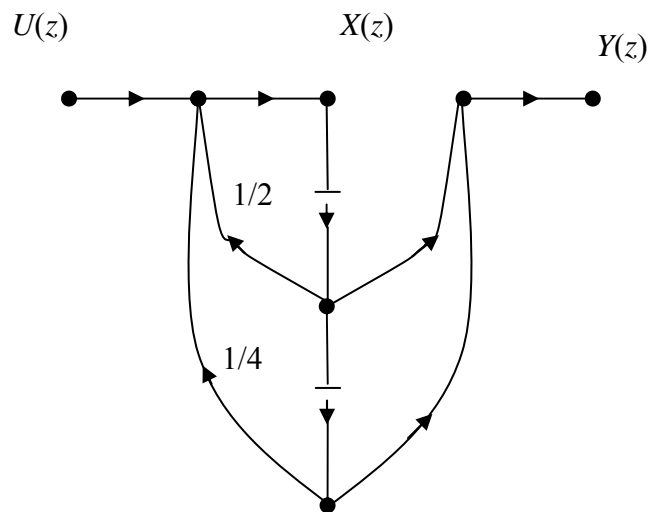
$$X(z) = z^{-1}V(z)$$



$$= \sum V_i(z)$$



$$= mV(z)$$



$$X = U + \frac{1}{2} z^{-1} X - \frac{1}{4} z^{-2} X$$

$$Y = z^{-1} X + z^{-2} X$$

$$H(z) = \frac{Y(z)}{U(z)} = \frac{z^{-1} + z^{-2}}{1 - \frac{1}{2} z^{-1} + \frac{1}{4} z^{-2}} = \frac{z+1}{z^2 - \frac{1}{2} z + \frac{1}{4}}$$

Stabilność

$$H(z) = \frac{\prod_{k=1}^{N-1} (z - z_k^0)}{\prod_{k=1}^N (z - z_k)} \quad \begin{matrix} \mathcal{P} \ (\mathcal{R}) \\ \text{(bieguny pojedyncze)} \end{matrix}$$

$$h(n) = \frac{1}{2\pi j} \oint_{\Gamma} H(z) z^{n-1} dz$$

- $n=0, \quad h(0) = \operatorname{res}_{z=0} \frac{H(z)}{z} + \sum_{k=1}^N \operatorname{res}_{z=z_k} \frac{H(z)}{z}$
- $n>0, \quad h(n) = \sum_{k=1}^N \varsigma_k z_k^{n-1}, \quad \varsigma_k = \operatorname{res}_{z=z_k} H(z)$

$$z_k = r_k e^{j\varphi_k} \quad \boxed{r_k \leq r_{mx} < 1} \quad k = 1, 2, \dots, N$$

$$\begin{aligned} l_1 &= \sum_{n=0}^{\infty} |h(n)| = |h(0)| + \sum_{n=1}^{\infty} \left| \sum_{k=1}^N \varsigma_k r_k^{n-1} e^{j(n-1)\varphi_k} \right| \\ &\leq |h(0)| + \sum_{n=1}^{\infty} \sum_{k=1}^N |\varsigma_k| r_k^{n-1} \leq |h(0)| + \sum_{n=1}^{\infty} \sum_{k=1}^N |\varsigma_k| r_{mx}^{n-1} \end{aligned}$$

$H(z)$ - analityczna w otoczeniu $z=0, z=z_k$

$$\rightarrow |h(0)| = \eta_o < \infty \quad |\varsigma_k| \leq R_{mx}, \quad k=1, \dots, N$$

$$l_1 \leq \eta_o + NR_{mx} \sum_{n=1}^{\infty} r_{mx}^{n-1} < \infty \quad \frac{1}{1 - r_{mx}}$$

tnz.

warunek wystarczający

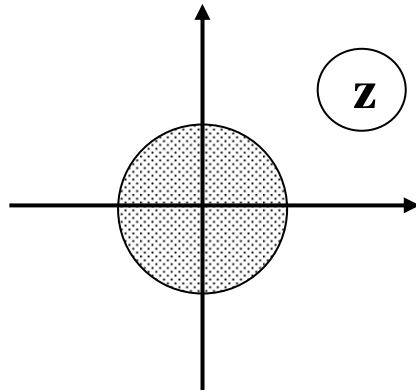
Niech $r_i \geq 1 \quad (i \leq N)$

$$n \rightarrow \infty \quad |h(n)| \approx |\zeta_i| r_i^{n-1}$$

$$l_1 = \sum_{n=0}^{\infty} |h(n)| = \lim_{N \rightarrow \infty} \sum_{n=1}^N |\zeta_i| r_i^{n-1} \rightarrow \infty$$

Warunek konieczny i dostateczny

$$|z_k| < 1 \quad k=1,2,\dots,N$$



Kryteria stabilności

- wyznaczenie (lokalizacja) biegunów układu dyskretnego
- transformacja i badanie stabilności w dziedzinie w („s”)
- pośrednie metody badania u.d.
 - kryterium Nyquista (amplitudowo-fazowe)
 - kryteria Jury’ego
 - wyznacznikowe
 - tablicowe

- Metoda płaszczyzny w

Przekształcenie

$$z := \frac{w+1}{w-1} \qquad w := \frac{z+1}{z-1}$$

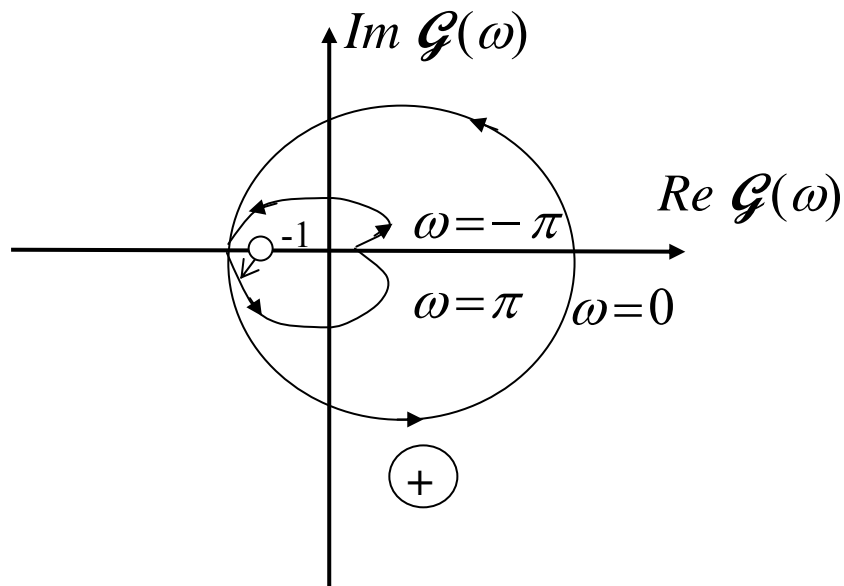
$$z = \alpha + j\beta \rightarrow \textcircled{w}$$

$$w = \frac{1+\alpha + j\beta}{-1+\alpha + j\beta} = \frac{\alpha^2 + \beta^2 - 1}{(1-\alpha)^2 + \beta^2} - j \frac{2\beta}{(1-\alpha)^2 + \beta^2}$$

Jeśli $|z| = \sqrt{\alpha^2 + \beta^2} \leq 1$ to $\operatorname{Re} w < 0$

$$\mathcal{G}(w) = G(z) \Big|_{z = \frac{w+1}{w-1}}$$

- Metody częstotliwościowe



- Kryterium Nyquista (Michajłowa)

Niech $G(z) = \frac{B(z)}{A(z)} = \frac{B_N(z)}{A_N(z)}$

wówczas

$$K(z) = \frac{G(z)}{1 + G(z)} = \frac{B(z)}{A(z) + B(z)}$$

T: Jeśli

$$A(z) = 0 \text{ dla } z = z_i, |z_i| > 1 \quad i = 1, \dots, m$$

oraz $z = z_j, |z_j| < 1 \quad j = 1, \dots, N - m$

to $1 + G(z) = 0 \text{ dla } z = z_l, |z_l| < 1 \quad l = 1, \dots, N$

N:
$$\Delta \arg \left[1 + G(e^{j\Omega}) \right]_{-\pi \leq \Omega \leq \pi} = 2\pi m$$

$$\Updownarrow \quad \Omega = \omega T = 2\pi f T$$

Mi:
$$\Delta \arg \left[A(e^{j\Omega}) + B(e^{j\Omega}) \right]_{-\pi \leq \Omega \leq \pi} = 2\pi N$$

$$\Updownarrow$$

D:

$$\Delta \arg \left[1 + G \right]_{-\pi \leq \Omega \leq \pi} = \Delta \arg \frac{A + B}{A} = 2\pi (N - (N - m))$$

- Kryteria Jury'ego

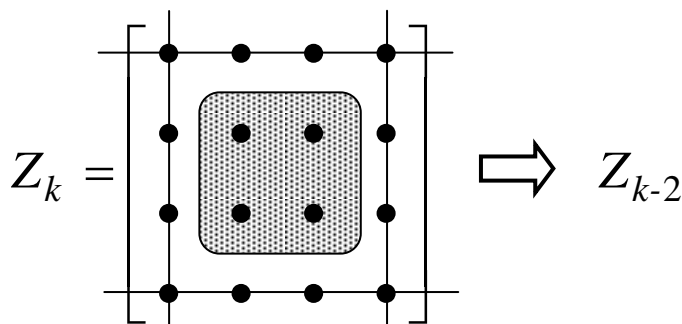
$$A(z) = a_0 + a_1 z + a_2 z^2 + \dots + a_N z^N$$

Metoda wyznacznikowa

$$X_{N-1} = \begin{bmatrix} a_N & a_{N-1} & \cdots & a_2 \\ 0 & a_N & \ddots & \vdots \\ \vdots & \ddots & \ddots & a_{N-1} \\ 0 & \cdots & 0 & a_N \end{bmatrix},$$

$$Y_{N-1} = \begin{bmatrix} a_{N-2} & \cdots & a_1 & a_0 \\ a_{N-3} & a_1 & a_0 & 0 \\ \vdots & \ddots & \ddots & \vdots \\ a_0 & 0 & \cdots & 0 \end{bmatrix}$$

$$Z_k^\pm = X_k \pm Y_k \text{ dla } k = N-1, N-3, \dots$$



Def.: $Z_K > 0$ jest wew. dodatnio określone
jeśli $\det Z_k > 0$ dla $k = K, K-2, \dots$

Tw. $A(z) = 0$ (ze wsp. $a_N > 0$)

dla $z = z_i : |z_i| < 1 \quad i = 1, 2, \dots, N$



1 $A(1) > 0$

2 $(-1)^N A(-1) > 0$

3 Z_{N-1}^{\pm} - **wewnętrznie dodatnio określone**

Semi- przykład

$$A(z) = a_0 + a_1 z + a_2 z^2 + a_3 z^3 + a_4 z^4 + a_5 z^5 + a_6 z^6$$

$$a_6 > 0$$

$$|Z_5^{\pm}| = \begin{vmatrix} a_6 \pm a_4 & a_5 \pm a_3 & a_4 \pm a_2 & a_3 \pm a_1 & a_2 \pm a_0 \\ \pm a_3 & \boxed{a_6 \pm a_2} & \boxed{a_5 \pm a_1} & \boxed{a_4 \pm a_0} & a_3 \\ \pm a_2 & \pm a_1 & \boxed{a_6 \pm a_0} & a_5 & a_4 \\ \pm a_1 & \pm a_0 & 0 & a_6 & a_5 \\ \pm a_0 & 0 & 0 & 0 & a_6 \end{vmatrix}$$

Warunki stabilności:

$$A(1) > 0$$

$$A(-1) > 0$$

$$|Z|_1^{\pm} = a_6 \pm a_0 > 0$$

$$|Z|_3^{\pm} = z_3^+ \pm z_3^- > 0$$

$$|Z|_5^{\pm} = z_5^+ \pm z_5^- > 0$$

• **Metoda tablicowa (Jury-Marden)**

$$A(z) = 0 \quad (\text{ze wsp. } a_N > 0)$$

1	$a_0 \quad a_1 \quad a_2 \quad \dots \quad a_{N-1} \quad a_N$
2	$a_N \quad a_{N-1} \quad a_{N-2} \quad \dots \quad a_1 \quad a_0$

3	$b_0 \quad b_1 \quad \dots \quad b_{N-1}$
4	$b_{N-1} \quad b_{N-2} \quad \dots \quad b_0$

$$b_k = \begin{vmatrix} a_0 & a_{N-k} \\ a_N & a_k \end{vmatrix}$$

• • • • •
• • • • •

$$c_k = \begin{vmatrix} b_0 & b_{N-1-k} \\ b_{N-1} & b_k \end{vmatrix}$$

$2N-5$	$x_0 \quad x_1 \quad x_2 \quad x_3$
$2N-4$	$x_3 \quad x_2 \quad x_1 \quad x_0$

$2N-3$	$y_0 \quad y_1 \quad y_2$
$2N-2$	$y_2 \quad y_1 \quad y_0$

$2N-1$	$z_0 \quad z_1$
$2N$	$z_1 \quad z_0$

$2N+1$	v_0
--------	-------

$$y_0 = \begin{vmatrix} x_0 & x_3 \\ x_3 & x_0 \end{vmatrix}, y_1 = y_2 = \begin{vmatrix} x_0 & x_1 \\ x_3 & x_2 \end{vmatrix}$$

$$z_0 = \begin{vmatrix} y_0 & y_2 \\ y_2 & y_0 \end{vmatrix}, v_0 = \begin{vmatrix} z_0 & z_1 \\ z_1 & z_0 \end{vmatrix},$$

$$\text{sign } v_0 = \text{sign}[A(1)A(-1)]$$

Warunki stabilności

1 $A(1) > 0$

2 $(-1)^N A(-1) > 0$

(N-1) warunków

3 $\{a_N > 0, b_0 < 0, c_0 > 0, d_0 > 0, \dots, x_0 > 0, y_0 > 0, z_0 > 0\}$

$$(P_1 = b_0, P_2 = P_1 c_0, \dots, P_{N-1} = P_{N-2} z_0, P_N = P_{N-1} v_0) \quad P_i < 0 \quad i = 1, \dots, N,$$

Jeśli $P_i \neq 0, \forall i \Rightarrow$ Liczba „niestabilnych” pierwiastków =

= Liczba niespełnionych warunków ($P_i > 0$)

• Metoda dzielenia (Jury)

$$A(z) = a_0 + a_1 z + \dots + a_{N-1} z^{N-1} + a_N z^N$$

$$A^*(z) = a_N + a_{N-1} z + \dots + a_1 z^{N-1} + a_0 z^N \quad A^*(z) = z^N A(z^{-1})$$

$$\frac{A^*(z)}{A(z)} \rightarrow \alpha_0 + \frac{A_1(z)}{A_1^*(z)} \rightarrow \alpha_0 + \alpha_1 + \frac{A_2(z)}{A_2^*(z)} \rightarrow \dots$$

$$\dots \rightarrow \alpha_0 + \alpha_1 + \alpha_2 + \dots + \alpha_{N-2} + \frac{A_{N-1}(z)}{A_{N-1}^*(z)}$$

$$\text{gdzie } \frac{A_k(z)}{A_k^*(z)} = \alpha_k + \frac{A_{k+1}(z)}{A_{k+1}^*(z)}$$

Kryterium stabilności

$$1 \quad A(1) > 0$$

$$2 \quad (-1)^N A(-1) > 0$$

$$3 \quad |\alpha_k| < 1$$

$$k = \underbrace{0, 1, 2, \dots, N-2}_{N-1}$$

$$\left. \begin{aligned} \alpha_0 &= \frac{a_0}{a_N} \\ \alpha_1 &= \frac{b_{N-1}}{b_0} \\ \alpha_{N-2} &= \frac{y_2}{y_0} \end{aligned} \right\} N-1$$

Widma sygnałów

- Sygnał ciągły nieokresowy (całka \mathcal{F})

$$x(t) = \int_{-\infty}^{+\infty} X(f) e^{j2\pi f t} df \quad 2\pi f = \omega$$

$$X(f) = \int_{-\infty}^{+\infty} x(t) e^{-j2\pi f t} dt = \mathcal{F} x(t)$$

f. zespolona, ciągła i nieokresowa (gęstość widm.)

- s. ciągły okresowy (szereg \mathcal{F})

$$x(t) = \sum_{k=-\infty}^{+\infty} X(kf_{\tau}) e^{j2\pi kf_{\tau} t}$$

$$x(t + i\tau) = x(t)$$

$$i = 0, \pm 1, \dots$$

$$f_{\tau} = \frac{1}{\tau}, \quad \omega_{\tau} = \frac{2\pi}{\tau}$$

$$X(kf_{\tau}) = \frac{1}{\tau} \int_{-\tau/2}^{\tau/2} x(t) e^{-j2\pi kf_{\tau} t} dt = \mathcal{F}_{\tau} x(t)$$

f. zespolona, dyskretna i nieokresowa (widmo amplitud.)

- f_{τ} - rozdzielczość widmowa
- przedział próbkowania częstotliwości.

Widma sygnałów

- **S. dyskretny nieokresowy (DF - Dyskretnie \mathcal{F})**

$$x(nT) = \frac{1}{f_T} \int_{-f_T/2}^{f_T/2} X(f) e^{j2\pi f nT} df$$

$$f_T = \frac{1}{T} \quad \omega_T = \frac{2\pi}{T} \quad f_N = \frac{f_T}{2} \quad \omega_N = \frac{\omega_T}{2}$$

$$X(f) = \sum_{n=-\infty}^{+\infty} x(nT) e^{-j2\pi f nT} = \mathcal{F} x(nT)$$

$$X(f + i f_T) = X(f) \quad i = 0, \pm 1, \dots$$

f. zespolona, ciągła i okresowa

f_T – częstotliwość próbkowania

T – okres próbkowania w dziedzinie t

- **S. dyskretny okresowy (DFT)**

$$x(nT) = \frac{1}{N} \sum_{k=0}^{N-1} X(k f_N) e^{j2\pi k f_N nT} \quad \text{lub} \quad e^{(j \frac{2\pi}{N} kn)}$$

$$f_\tau = \hat{f}_N = \frac{1}{NT} := \frac{1}{N} \quad \text{oraz} \quad \hat{\omega}_N = \frac{2\pi}{N}$$

$$X(kf_N) = \sum_{n=0}^{N-1} x(nT) e^{-j \frac{2\pi}{N} kn} = \mathcal{F}_N x(nT)$$

$$x(nT + NT) = x(nT)$$

$$X(kf_N) = X(kf_N + f_T)$$

DF s. nieokresowych

$$\mathcal{F} x(n) = X(\omega) = \sum_{-\infty}^{+\infty} x(n) e^{-j \underbrace{\omega T}_n} = \mathcal{F}_0^{-1} x(n)$$

$$\mathcal{F}^{-1} X(\omega) = \frac{1}{\omega_T} \int_{-\omega_N}^{\omega_N} X(\omega) e^{+j\omega T n} d\omega = x(n) = \mathcal{F}_0 X(\omega)$$

Ω-transformata

$$X(\Omega) = \sum_{n=-\infty}^{+\infty} x(n) e^{-j\Omega n}$$

$$x(n) = \frac{1}{2\pi} \int_{-\pi}^{\pi} X(\Omega) e^{j\Omega n} d\Omega$$

Lemat (oczywisty):

Funkcja $x(n)$ posiada Ω-transformatę $X \Leftrightarrow$

$\sum \mathcal{F}$ jest zbieżny

Warunki zbieżności:

*Jeśli $x \in l_1$: $l_1 = \sum_{n=-\infty}^{+\infty} |x(n)| < \infty$

to $\sum \mathcal{F}$ jest jednostajnie zbieżny do $X \in C_\Omega$

* Jeśli $x \in l_2$: $l_2^2 = \sum_{n=-\infty}^{+\infty} |x(n)|^2 < \infty$

to $\sum \mathcal{F}$ jest zbieżny w sensie śr-kwadratowym do

$$X(\Omega) \in L_2 : \frac{1}{2\pi} \int_{-\pi}^{\pi} |X(\Omega)|^2 d\Omega < \infty$$

- $l_2^2 \leq l_1^2$

- $1(nT), \cos(\Omega_o n), \dots$ nie mają Ω - transformacji

- Jeśli $X \in L_1$: $\frac{1}{2\pi} \int_{-\pi}^{\pi} |X(\Omega)| d\Omega < \infty$

to $\sum \mathcal{F}$ jest zbieżny.

Widmo poprzez przekształcenie \mathcal{Z}

$$X(\Omega) = \mathcal{Z} x(n) \Big|_{z = e^{j\Omega}} = \sum_{n=-\infty}^{+\infty} x(n) z^{-n} \Big|_{z = e^{j\Omega}}$$
$$(x(n) = 0 \text{ dla } n < 0)$$

- \sim gęstości widmowej (Całki \mathcal{F})
- l_2^2 ma sens energii (ale jej nie reprezentuje!)

Sygnały impulsowe

$$x^*(t) = x(t) \sum_{n=-\infty}^{+\infty} \delta(t - nT) = \sum_{n=-\infty}^{+\infty} x(nT) \delta(t - nT) =$$
$$= \sum_{n=-\infty}^{+\infty} x_{nT}^*(t)$$

$$X^*(\omega) = \mathcal{F} x^*(t) = \int_{-\infty}^{+\infty} \sum_{n=-\infty}^{+\infty} x_{nT}^*(t) e^{-j\omega t} dt =$$
$$= \sum_{n=-\infty}^{+\infty} x(nT) e^{-j\omega T n} = X(\Omega)$$

- $x^*(t)$ sygnał ‘energetyczny’
- $x(nT)$ (o identycznym kształcie i widmie) nie posiada energii (zerowa odp. ukł. analogowego)

**Związek widm s. $x(nT)$ i $x(t)$
s. okresowy**

$$\delta_T(t) = \sum_{n=-\infty}^{+\infty} \delta(t - nT)$$

ma widmo ampl.

$$F_T \delta_T(t) = \Delta(k\omega_T) = \frac{1}{T} \int_{-T/2}^{T/2} \delta(t) e^{-j\omega_T kt} dt = \frac{1}{T}$$

Stąd

$$\delta_T(t) = \sum_{k=-\infty}^{+\infty} \frac{1}{T} e^{j\omega_T kt} \quad \omega_T = \frac{2\pi}{T}$$

Zatem sygnał energetyczny (c. nieokr.)

$$x^*(t) = \frac{1}{T} \sum_{k=-\infty}^{+\infty} x(t) e^{j\omega_T kt}$$

charakteryzuje gęstość widmowa

$$\begin{aligned} Fx^*(t) = X^*(\omega) &= \int_{-\infty}^{+\infty} \frac{1}{T} \sum_{k=-\infty}^{+\infty} x(t) e^{j\omega_T kt} e^{-j\omega t} dt = \\ &= \frac{1}{T} \sum_{k=-\infty}^{+\infty} \int_{-\infty}^{+\infty} x(t) e^{-j(\omega - k\omega_T)t} dt \end{aligned}$$

$$\text{tzn. } X^*(\omega) = \frac{1}{T} \sum_{k=-\infty}^{+\infty} X(\omega - k\omega_T)$$

Widmo s. dyskretnego $X(\Omega) = Fx(nT) = X^*(\omega)$

Równe sumie przesuniętych (o $k\omega_T$) widm

$$X(\omega) = Fx(t)$$

$X(\Omega), X^*(\omega)$ - **widma okresowe**

ToP: Twierdzenie o próbkowaniu (Shannon,...)
Jeśli

$$X(\omega) \equiv 0 \quad \text{dla} \quad |\omega| > \omega_g \leq \omega_N = \frac{\omega_T}{2} = \frac{\pi}{T}$$

to

$$X(\omega T) = X^*(\omega) = \frac{1}{T} X(\omega) \quad \text{dla} \quad |\omega| < \omega_N$$

to znaczy na podstawie $x(n) = x(nT)$ można odtworzyć $x(t)$ (dokładnie).

Założmy, że $x(t)$ spełnia warunki ToP, wówczas

$$x(t) = F^{-1} X(\omega) = \frac{1}{2\pi} \int_{-\omega_N}^{\omega_N} X(\omega) e^{j\omega t} d\omega$$

Ponieważ DF sygnału nieokresowego

$$X(\omega) = TX(\Omega) = T \sum_{n=-\infty}^{+\infty} x(nT) e^{-j\omega nT}$$

to

$$\begin{aligned} x(t) &= \frac{T}{2\pi} \int_{-\omega_N}^{\omega_N} \sum_{n=-\infty}^{\infty} x(nT) e^{j\omega(t-nT)} d\omega = \\ &= \frac{T}{2\pi} \sum_{n=-\infty}^{\infty} x(nT) \int_{-\omega_N}^{\omega_N} e^{j\omega(t-nT)} d\omega \end{aligned}$$

Czyli

$$x(t) = \sum_{n=-\infty}^{+\infty} x(nT) \frac{\sin \omega_N(t-nT)}{\omega_N(t-nT)}$$

tzn. że próbkowany sygnał $x(t)$ może być odtworzony na podstawie swoich próbek $x(nT)$

DFT (skończona DTFT)

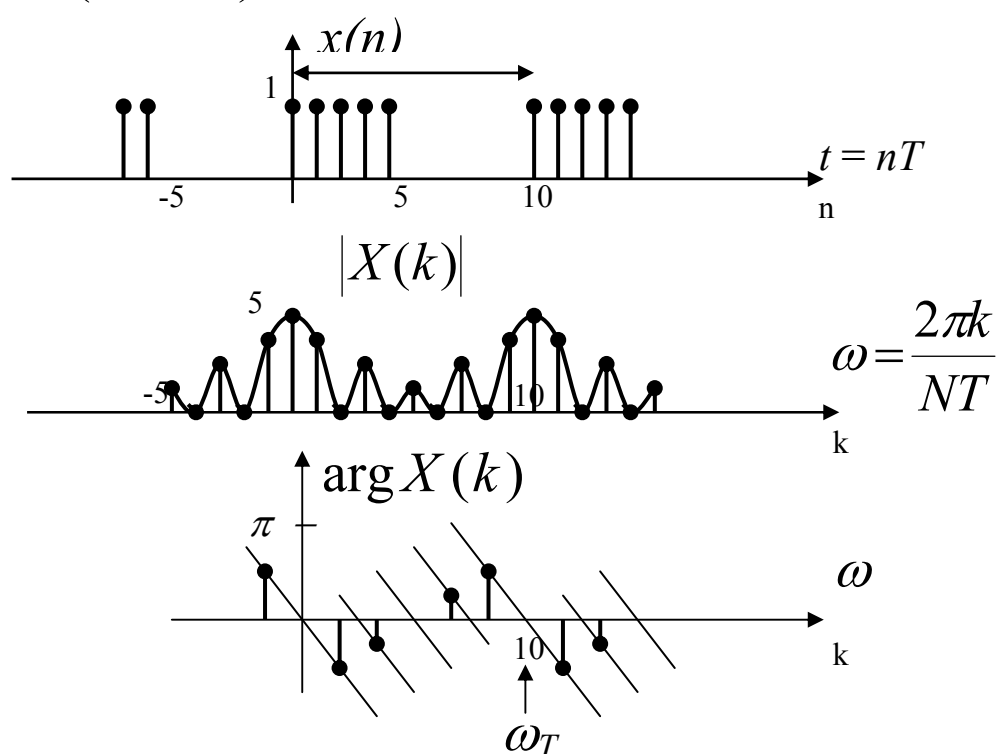
$$\left\{ \begin{array}{l} X(k\omega_N) = \sum_{n=0}^{N-1} x(nT) e^{-j\omega_N kn} \\ x(nT) = \frac{1}{N} \sum_{k=0}^{N-1} X(k\omega_N) e^{j\omega_N nk} \end{array} \right. \quad \omega_N = \frac{2\pi}{NT}$$

Fazor: $W_N = e^{-j\omega_N} = e^{-j\frac{2\pi}{N}}$

$$\left\{ \begin{array}{l} X(k) = \sum_{n=0}^{N-1} x(n) W_N^{kn} \\ x(n) = \frac{1}{N} \sum_{k=0}^{N-1} X(k) W_N^{-kn} \end{array} \right.$$

Okresowe ciągi (próbek i prążków widma).

Przykład ($N = 10$)



$$X(k) = \sum_{n=0}^4 W_{10}^{nk}$$

... (kolejne) **Zastosowanie \mathcal{Z}**

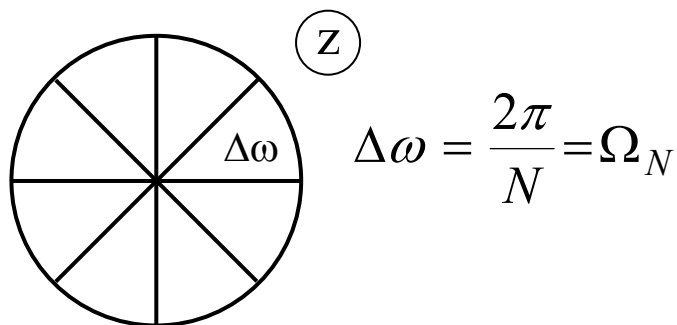
Przekształcenie 1 okresu (o długości N)

$$\mathcal{Z}_N x(n) = \sum_{n=0}^{N-1} x(n) z^{-n} = X_N(z)$$

Zauważmy

$$X(k) = X_N(z) \bigg|_{z = e^{j\omega T}} \bigg|_{\omega = k\omega_N = \frac{2\pi k}{TN} = W_N^{-k}}$$

$X_N(z)$ – próbkowanie w N punktach równomiernie rozłożonych na okręgu jednostkowym



Współczynniki $\sum F \longrightarrow$ ciąg skończony [DF(F)T]

(albo \longrightarrow ciąg okresowy)

***** sygnał o skończonym czasie trwania posiada widmo o nieograniczonym paśmie! *****

Szybka transformacja Fouriera (FFT)

$$\text{DFT: } X_k = \sum_{n=0}^{N-1} x_n W_N^{nk} \quad x_n = \frac{1}{N} \sum_{k=0}^{N-1} X_k W_N^{-nk}$$


1 prążek: $N \times \otimes$ i $(N-1) \times \oplus$ (zespol.)

N prążków: $N^2 \times \otimes$ i $(N^2 - N) \times \oplus$

FFT:

N prążków: $\otimes - N \log_2 N \Big|_{N=2^\nu} = \nu N$

- grupowanie w dziedzinie czasu
- grupowanie w dziedzinie częstotliwości
- grupowanie w dziedzinie t/ω przy $N \neq 2^\nu$
- metoda macierzowa

* Operacje  motylkowe (AM)
 \downarrow
 τ_z

* Analizatory widma:

- Sekwencyjne \rightarrow 1 arytmometr AM
 $\rightarrow \tau_z(N/2) \log_2 N$
- Kaskadowe $\rightarrow \nu \times AM$
 $\rightarrow 1,5\nu \tau_z$ (pół-równ.)
- Równoległe $\rightarrow N/2 \rightarrow \nu N/2$
 $\rightarrow \nu \tau_z \rightarrow$

* **FFT: grupowanie próbek** ($N=2^\nu$)

→ **próbki parzyste** x_{2r}

→ **próbki nieparzyste** x_{2r+1}

$$\begin{aligned} X_k &\stackrel{(\cdot)}{=} \sum_r x_{2r} W_N^{2rk} + \sum_r x_{2r+1} W_N^{(2r+1)k} = \\ &= \sum_r x_{2r} (W_N^2)^{rk} + W_N^k \sum_r x_{2r+1} (W_N^2)^{rk} = \\ &\stackrel{(\cdot\cdot)}{=} \sum_r x_{2r} W_{N/2}^{rk} + W_N^k \sum_r x_{2r+1} W_{N/2}^{rk} \end{aligned}$$

$$(\cdot) \sum_r \equiv \sum_{r=0}^{N/2-1} \quad (\cdot\cdot) \quad W_N^2 = e^{-j\frac{2\pi}{N/2}} = W_{N/2}$$

tzn. $X_k = Y_k + W_N^k Z_k \quad k=0,1,\dots,N-1$

$Y_k, Z_k - \frac{N}{2}$ - **punktowe DFT parz./nieparz.** x_n

- **okresowe względem k** (o okresie $N/2$)

Zatem
$$\begin{cases} X_k = Y_k + W_N^k Z_k & k=0,1,\dots,\frac{N}{2}-1 \\ X_k = Y_{k-\frac{N}{2}} + W_N^k Z_{k-\frac{N}{2}} & k = \frac{N}{2},\dots,N-1 \end{cases}$$

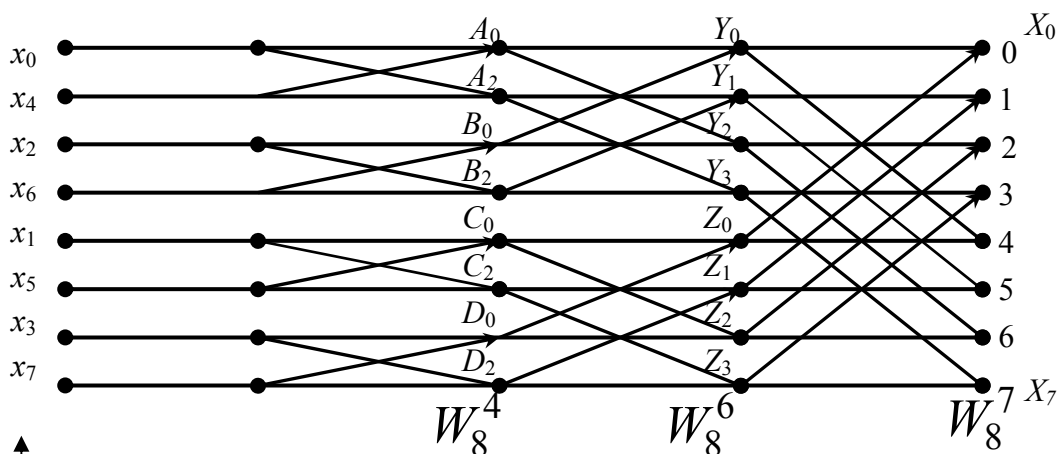
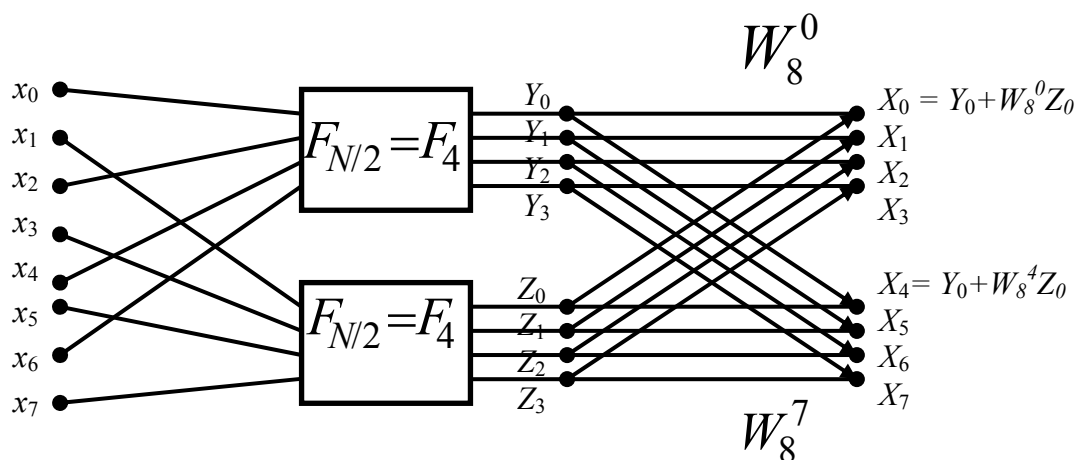
* **I. mnożenie:** $2\left(\frac{N}{2}\right)^2 + N = \underline{N(N/2 + 1)} \ll N^2$ **(DFT)**

zagnieżdżanie DFT

$Y_k = \dots$ (ν etapów)

$Z_k = \dots \dots$

Przykład $N=8=2^3$



↑ SORTOWANIE
przez odwrócenie kolejności bitów
w binarnym kodzie I. porządkowej

$$I(n) = x_{n^*} \quad n \rightarrow n^*$$

$$001 \rightarrow 100$$

$$011 \rightarrow 110$$

$$110 \rightarrow 011$$

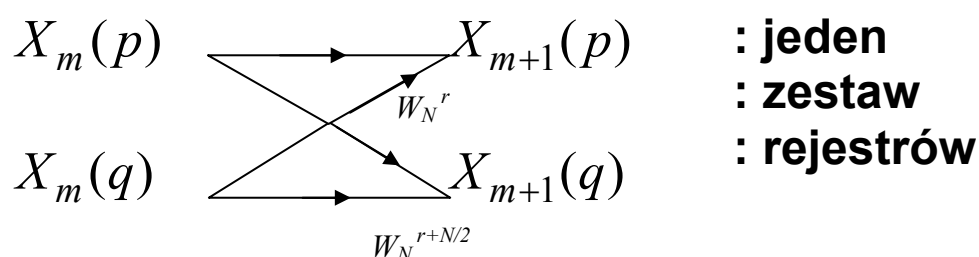
Zauważmy: dla $n=0,1,\dots,N/2-1$

$$\begin{matrix} x_n \\ x_{n+N/2} \end{matrix} \begin{matrix} \rightarrow \\ \rightarrow \end{matrix} \begin{matrix} W_N^0 = 1 \\ W_N^{N/2} = W_2 = e^{-j\pi} = -1 \end{matrix}$$

Obliczenia motylkowe

Elementarny układ równań

$$\begin{cases} X_{m+1}(p) := X_m(p) + W_N^r X_m(q) \\ X_{m+1}(q) := X_m(p) + W_N^{r+N/2} X_m(q) \end{cases}$$



Ponieważ

$$W_N^{N/2} = e^{-j \frac{2\pi N}{N} \frac{1}{2}} = e^{-j\pi} = -1$$

Jeśli $X_m = X'_m + jX''_m$ to

$$\begin{aligned} x'_{m+1}(p) &= x'_m(p) + x'_m(q) \cos \alpha_r - x''_m(q) \sin \alpha_r \\ x''_{m+1}(p) &= x''_m(p) + x'_m(q) \sin \alpha_r + x''_m(q) \cos \alpha_r \\ x'_{m+1}(q) &= x'_m(p) - x'_m(q) \cos \alpha_r + x''_m(q) \sin \alpha_r \\ x''_{m+1}(q) &= x''_m(p) - x'_m(q) \sin \alpha_r - x''_m(q) \cos \alpha_r \end{aligned}$$

$$\alpha_r = \frac{2\pi r}{N}$$

Teoria układów liniowych

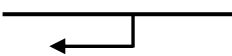
$$R \in \mathcal{L}, \mathcal{N}, \mathcal{P}$$

$$\mathbf{x}_{n+1} = \mathbf{A}\mathbf{x}_n + \mathbf{B}\mathbf{u}_n \quad \mathbf{u}[p \times 1]$$

$$\mathbf{y}_n = \mathbf{C}^T \mathbf{x}_n + \mathbf{D}\mathbf{u}_n \quad \mathbf{x}[k \times 1]$$

$$R: \quad \mathbf{y}[q \times 1]$$

$$(\mathbf{A}_{k \times k}, \mathbf{B}_{k \times p}, \mathbf{C}_{k \times q}, \mathbf{D}_{q \times p})$$



Def. R (Para $[\mathbf{A}, \mathbf{B}]$) jest całkowicie osiągalne, jeśli dla dowolnego \mathbf{x}_0 istnieje ogr. $\{\mathbf{u}_n\}$ dla $n \in [0, k-1]$ takie, że \mathbf{x}_k przyjmuje dowolną zadaną wartość.

Def. Układ $([\mathbf{A}, \mathbf{B}])$ jest całkowicie sterowalny, jeśli dla dowolnego \mathbf{x}_0 istnieje takie $\{\mathbf{u}_n\}$ dla $n \in [0, k-1]$, że $\mathbf{x}_k = 0$.

→ **Osiągalność/sterowalność kompletna lub $(\mathbf{x}_i / \mathbf{y}_i)$ stanów/sygnałów**

Jeśli $\det \mathbf{A} \neq 0$, to stany sterowalne są osiągalne, tzn. sterowalność \equiv osiągalność.

Jeśli para $[\mathbf{A}, \mathbf{B}]$ nie jest całkowicie osiągalna, to istnieje nieosobliwe \mathbf{T} , że

$$\mathbf{T}\mathbf{A}\mathbf{T}^{-1} = \begin{bmatrix} \mathbf{A}_{11} & \mathbf{A}_{12} \\ 0 & \mathbf{A}_{22} \end{bmatrix}, \quad \mathbf{T}\mathbf{B} = \begin{bmatrix} \mathbf{B}_1 \\ 0 \end{bmatrix}$$

oraz para $[\mathbf{A}_{11}, \mathbf{B}_1]$ jest całkowicie osiągalna.

Warunki sterowalności

$$\mathbf{x}_n = \mathbf{A}^n \mathbf{x}_0 + \sum_{i=0}^{n-1} \mathbf{A}^{n-1-i} \mathbf{B} \mathbf{u}_i$$

Przyjmując $n=k$ i $\mathbf{x}_k = 0$

$$-\mathbf{A}^k \mathbf{x}_0 = \sum_{i=0}^{k-1} \mathbf{A}^{k-1-i} \mathbf{B} \mathbf{u}_i$$

lub

$$-\mathbf{A}^k \mathbf{x}_0 = \mathbf{H} \mathbf{u}$$

gdzie

$$\mathbf{H} = [\mathbf{B} \ \mathbf{A}\mathbf{B} \ \mathbf{A}^2\mathbf{B} \ \dots \ \mathbf{A}^{k-1}\mathbf{B}]$$

wektor sterowania:

$$\mathbf{U} = [\mathbf{u}_{k-1}^T \ \mathbf{u}_{k-2}^T \ \mathbf{u}_{k-3}^T \ \dots \ \mathbf{u}_0^T]^T$$

Tw. Układ $[\mathbf{A}, \mathbf{B}]$ jest całkowicie sterowalny

$$\Leftrightarrow \text{rank } \mathbf{H} = k$$

H : k liniowo niezależnych kolumn



$$\mathbf{H}_0: \det \mathbf{H}_0 \neq 0 \text{ i wówczas } \mathbf{H}_0 \mathbf{U}_0 = -\mathbf{A}^k \mathbf{x}_0$$

$$\mathbf{U}_0 = -\underbrace{\mathbf{H}_0^{-1}}_{\substack{\uparrow \\ k - \text{wymiarowy wektor}}} \mathbf{A}^k \mathbf{x}_0 \text{ albo } \underbrace{\mathbf{H}^+}_{\substack{\uparrow \\ \text{brak jednoznacznego rozwiązania} \\ \text{rozwiązanie minimalno-normowe (underdet.)}}} = \mathbf{H}^T (\mathbf{H} \mathbf{H}^T)^{-1}$$

- brak jednoznacznego rozwiązania
- rozwiązanie minimalno-normowe (underdet.)

Układy SIMO

$$\mathbf{H} = [\mathbf{b} \quad \mathbf{A}\mathbf{b} \quad \dots \quad \mathbf{A}^{k-1}\mathbf{b}] \quad \text{oraz} \quad \text{rank } \mathbf{H} = k$$

$\uparrow \quad \uparrow \quad \uparrow$
 k – liniowo niezależnych wektorów.

Układ może być przeprowadzony do stanu końcowego $\mathbf{x}_k=0$ za pomocą ograniczonego sterowania dopiero po k okresach próbkowania

Układy MIMO – szybciej

np. $k = p : \mathbf{B}_{k \times k} \quad \text{ i } \quad \det \mathbf{B} \neq 0$

toysterowanie może nastąpić po 1 okresie,
gdyż dla $n=0$

$$\mathbf{x}_1 = \mathbf{A}\mathbf{x}_0 + \mathbf{B}\mathbf{u}_0 = 0$$

stąd

$$\mathbf{u}_0 = -\mathbf{B}^{-1}\mathbf{A}\mathbf{x}_0$$

Przykład (SI)

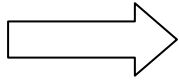
$$\mathbf{x}_{n+1} = \mathbf{A}\mathbf{x}_n + \mathbf{b}u$$

$$\begin{bmatrix} x_1 \\ x_2 \end{bmatrix} = \begin{bmatrix} 0 & 1 \\ -2 & -3 \end{bmatrix} \begin{bmatrix} x_1 \\ x_2 \end{bmatrix} + \begin{bmatrix} 0 \\ 1 \end{bmatrix} u$$

$$\mathbf{x}_0 = \begin{bmatrix} 1 \\ 1 \end{bmatrix} \rightarrow \mathbf{x}_k = \begin{bmatrix} 0 \\ 0 \end{bmatrix}$$

SI

$k = 2$



**Można wyznaczyć
sterowanie dwukrokowe**

$$\mathbf{H} = [\mathbf{b} \quad \mathbf{A}\mathbf{b}] = \begin{bmatrix} 0 & 1 \\ 1 & -3 \end{bmatrix}$$

$$\det \mathbf{H} = -1 \neq 0 \Rightarrow \text{rank} \mathbf{H} = 2$$

$$\begin{aligned} \mathbf{u} &= -\mathbf{H}^{-1} \mathbf{A}^2 \mathbf{x}_0 = -\begin{bmatrix} 0 & 1 \\ 1 & -3 \end{bmatrix}^{-1} \begin{bmatrix} 0 & 1 \\ -2 & -3 \end{bmatrix}^2 \begin{bmatrix} 1 \\ 1 \end{bmatrix} \\ \mathbf{u} &= \begin{bmatrix} 2 \\ 5 \end{bmatrix} = \begin{bmatrix} u_1 \\ u_0 \end{bmatrix} \end{aligned}$$

sprawdzenie

$$\begin{aligned} \mathbf{x}_2 &= \mathbf{A}^2 \mathbf{x}_0 + \mathbf{A} \mathbf{b} u_0 + \mathbf{b} u_1 = \\ &= \begin{bmatrix} -2 & -3 \\ 6 & 7 \end{bmatrix} \begin{bmatrix} 1 \\ 1 \end{bmatrix} + \begin{bmatrix} 1 \\ -3 \end{bmatrix} 5 + \begin{bmatrix} 0 \\ 1 \end{bmatrix} 2 = \\ &= \begin{bmatrix} -5 & +5 & +0 \\ 13 & -15 & +2 \end{bmatrix} = \begin{bmatrix} 0 \\ 0 \end{bmatrix} \end{aligned}$$

Def: R (para A, C^T) jest całkowicie obserwowalne, jeśli dla dowolnego x_0 i sterowania $\{u_n\}$, istnieje takie k , że na podstawie $\{u_n\}$ i $\{y_n\}$ w przedziale $n \in [0, k]$ można wyznaczyć x_0 .

Def: R jest całkowicie odtwarzalne, jeśli (...) można wyznaczyć x_k .

- Niecałkowita obs./odtw.
≡ obserw./odtwarz. poszczeg. stanów
- Jeśli $\det A \neq 0$, to stany obserwowalne są odtwarzalne, tzn.
obserwowalność \equiv odtwarzalność

$$x_n = A^n x_0 + \sum_{i=0}^{n-1} A^{n-1-i} B u_i$$

$$y_n = C^T A^n x_0 + \sum_{i=0}^{n-1} C^T A^{n-1-i} B u_i + D u_n$$

Składnik obserwacji stanu (x_0)

$$z_n = y_n - \hat{y}_n \Big|_{\mathbf{x}_0 = 0} = \mathbf{C}^T \mathbf{A}^n \mathbf{x}_0$$

Wektor obserwacji stanu

$$\mathbf{z} = \mathbf{G} \mathbf{x}_0$$

$$\mathbf{Z} = \begin{bmatrix} \mathbf{z}_0 \\ \mathbf{z}_1 \\ \vdots \\ \mathbf{z}_{k-1} \end{bmatrix} \quad \mathbf{G} = \begin{bmatrix} \mathbf{C}^T \\ \mathbf{C}^T \mathbf{A} \\ \vdots \\ \mathbf{C}^T \mathbf{A}^{k-1} \end{bmatrix}$$

$$\mathbf{G}^T = [\mathbf{C} \quad (\mathbf{A}^T) \mathbf{C} \quad \dots \quad (\mathbf{A}^T)^{k-1} \mathbf{C}]$$

Tw: **Układ $[\mathbf{A}, \mathbf{C}^T]$ jest całkowicie obserwowalny**
 $\Leftrightarrow \text{rank } \mathbf{G} = k$

G: k liniowo niezależnych wierszy \longrightarrow

\mathbf{G}_0 : $\det \mathbf{G}_0 \neq 0$ i wówczas

$$\mathbf{G}_0 \mathbf{x}_0 = \mathbf{Z}_0 \quad \longleftarrow \quad k \text{ wym. wekt.}$$

Czyli $\mathbf{x}_0 = \mathbf{G}_0^{-1} \mathbf{Z}_0$ albo $\mathbf{G}^+ = (\mathbf{G}^T \mathbf{G})^{-1} \mathbf{G}^T$

- brak jednoznacznego rozwiązania
- rozwiązanie najmn. kwadratów LS (overdet.)

Układy MISO ($q=1$)

Całkowita obserwowalność $\text{rank } \mathbf{G} = k$

$$\mathbf{G} = \begin{bmatrix} \mathbf{C}^T \\ \mathbf{C}^T \mathbf{A} \\ \vdots \\ \mathbf{C}^T \mathbf{A}^{k-1} \end{bmatrix} \begin{matrix} \leftarrow \\ \leftarrow \\ \leftarrow \\ \leftarrow \end{matrix} \quad \begin{matrix} k \text{ liniowo} \\ \text{niezależnych} \\ \text{wierszy} \end{matrix}$$

Wówczas \mathbf{x}_0 może być wyznaczone na podstawie znajomości sterowania i odpowiedzi w k -krokowym przedz.

Układy MIMO – szybciej

$$\begin{array}{ll} \text{np.} & q=k : \mathbf{C}_{k \times k} \\ \text{i} & \det \mathbf{C} \neq 0 \end{array}$$

to wyznaczenie \mathbf{x}_0 po 1 okresie, gdyż dla $n=0$

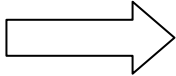
$$\begin{aligned} \mathbf{y}_0 &= \mathbf{C}^T \mathbf{x}_0 + \mathbf{D} \mathbf{u}_0 \\ \mathbf{x}_0 &= (\mathbf{C}^T)^{-1} (\mathbf{y}_0 - \mathbf{D} \mathbf{u}_0) \end{aligned}$$

Przykład (SISO)

$$y_n = \mathbf{y}_n = \mathbf{x}'_n - \mathbf{x}''_n = [1 \ -1] \mathbf{x}_n + [0] \mathbf{u}_n$$

$$\mathbf{A} = \begin{bmatrix} 0 & 1 \\ -2 & -3 \end{bmatrix} \quad \mathbf{C}^T = [1 \ -1] \quad \mathbf{b} = \begin{bmatrix} 0 \\ 1 \end{bmatrix}$$

$$u_0 = 5 \quad u_1 = 2 \quad (\text{z poprzedniego przykładu})$$

SO
 $k = 2$  **wystarczą dwa pomiary** $\{y_0, y_1\}$
np.: $y_0 = 0 \quad y_1 = 1$

$$z_0 = y_0 = 0$$

$$z_1 = y_1 - \mathbf{C}^T \mathbf{b} u_0 = 1 - [1 \ -1] \begin{bmatrix} 0 \\ 1 \end{bmatrix} 5 = 6$$

Zatem

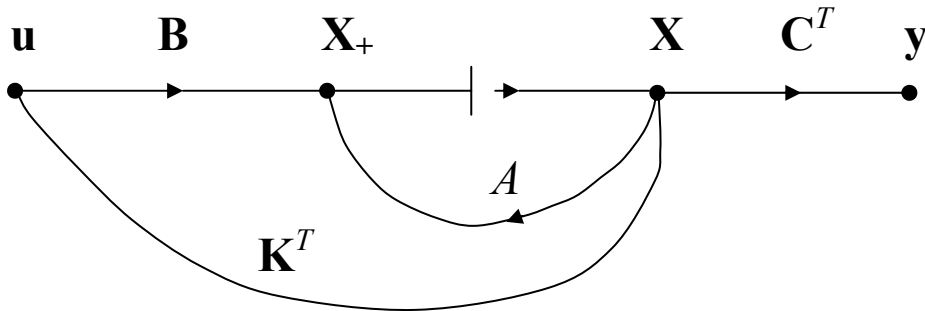
$$\mathbf{x}_0 = \mathbf{G}^{-1} \mathbf{z}$$

gdyż $\mathbf{G} = \begin{bmatrix} \mathbf{C}^T \\ \mathbf{C}^T \mathbf{A} \end{bmatrix} = \begin{bmatrix} 1 & -1 \\ 2 & 4 \end{bmatrix}$
 $\det \mathbf{G} = 6$

$$\mathbf{x}_0 = \begin{bmatrix} 1 & -1 \\ 2 & 4 \end{bmatrix}^{-1} \begin{bmatrix} 0 \\ 6 \end{bmatrix} = \frac{1}{6} \begin{bmatrix} 4 & 1 \\ -2 & 1 \end{bmatrix} \begin{bmatrix} 0 \\ 6 \end{bmatrix} = \begin{bmatrix} 1 \\ 1 \end{bmatrix}$$


(poprzedni przykład)

Stabilizowalność



sprężenie zwrotne od wektora stanu

Macierz wzmocnienia $\mathbf{K}_{k \times p}$ (jak \mathbf{B})

Ponieważ $\mathbf{u} = \mathbf{K}^T \mathbf{x}$

$$\mathbf{x}_{n+1} = \mathbf{A} \mathbf{x}_n + \mathbf{B} \mathbf{K}^T \mathbf{x}_n = [\mathbf{A} + \mathbf{B} \mathbf{K}^T] \mathbf{x}_n$$

Def.: R (para $[\mathbf{A}, \mathbf{B}]$) jest całkowicie stabilizowalna, jeśli istnieje takie s.z. \mathbf{K} , które stabilizuje układ R , tzn.

$$|\lambda_i(\mathbf{A} + \mathbf{B} \mathbf{K}^T)| < 1 \quad \forall_i$$

Tw.: Para $[\mathbf{A}, \mathbf{B}]$ jest

całkowicie stabilizowalna $\Leftrightarrow \exists \mathbf{T} : \det \mathbf{T} \neq 0$

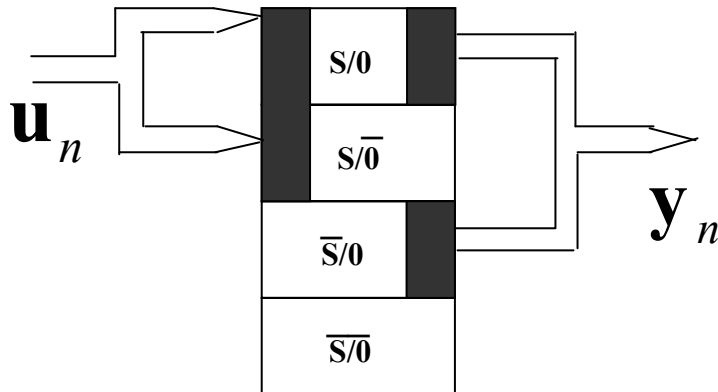
$$\mathbf{T} \mathbf{A} \mathbf{T}^{-1} = \begin{bmatrix} \mathbf{A}_{11} & \mathbf{A}_{12} \\ 0 & \mathbf{A}_{22} \end{bmatrix}, \quad \mathbf{T} \mathbf{B} = \begin{bmatrix} \mathbf{B}_1 \\ 0 \end{bmatrix}$$

$[\mathbf{A}_{11}, \mathbf{B}_1]$ – całkowita sterow., $|\lambda_i(\mathbf{A}_{22})| < 1$

**niesterow.
stabilne**

Kompletny opis układu

$$\mathbf{x} = \begin{bmatrix} \mathbf{x}_{S0} \\ \mathbf{x}_{S\bar{0}} \\ \mathbf{x}_{\bar{S}0} \\ \mathbf{x}_{\bar{S}\bar{0}} \end{bmatrix}$$



$$\begin{cases} \mathbf{x}_{n+1} = \mathbf{A} \mathbf{x}_n + \mathbf{B} \mathbf{u}_n \\ \mathbf{y}_n = \mathbf{C}^T \mathbf{x}_n + \mathbf{D} \mathbf{u}_n \end{cases}$$

$$\mathbf{y}(z) = \mathbf{H}(z) \mathbf{u}(z)$$

$$\mathbf{H}(z) = \mathbf{C}^T (z\mathbf{I} - \mathbf{A})^{-1} \mathbf{B} + \mathbf{D}$$

Ponieważ

$$\mathbf{x}_n = \mathbf{A}^n \mathbf{x}_0 + \sum_{i=0}^{n-1} \mathbf{A}^{n-1-i} \mathbf{B} \mathbf{u}_i$$

to odpowiedź impulsowa

$$\mathbf{h}_n = \begin{cases} \mathbf{0} & n < 0 \\ \mathbf{D} & n = 0 \\ \mathbf{C}^T \mathbf{A}^{n-1} \mathbf{B} & n > 0 \end{cases} \quad (*)$$

Def.: Zespół $(\mathbf{A}, \mathbf{B}, \mathbf{C}^T, \mathbf{D})$ spełniający (*) nazywamy realizacją odpowiedzi imp. \mathbf{h}_n (lub fun. przen. $\mathbf{H}(z)$).

Realizację (A, B, C^T, D) :

$$\dim A = k = \min$$

nazywamy realizacją minimalną.

→ Realizacja minimalna opisuje s/o

Tw. Macierz A ma wymiar minimalny

$$\Leftrightarrow \begin{cases} [A, B] & - \text{całk. osiągalna} \\ [A, C^T] & - \text{całk. obserwowalna} \end{cases}$$

*** Zwykle $D=0$ i mówimy, że (A, B, C^T) jest realizacją $H(z)$**

Tw.: Dla dwóch realizacji minimalnych

$$(A_1, B_1, C_1^T) \text{ i } (A_2, B_2, C_2^T), \exists T: \det T \neq 0$$

$$TA_1 T^{-1} = A_2, \quad TB_1 = B_2, \quad C_1^T = C_2^T T$$

Zasady przekształceń tożsam.

Lemat: R posiada równoważne opisu w różnych przestrzeniach stanu

\equiv Wiele wektorów współrzędnych stanu, które równoważnie opisują układ.

Twierdzenie: Między dwoma wektorami stanu

$$\mathbf{x} \text{ i } \mathbf{x}^*$$

równoważnie opisującymi układ istnieje wzajemnie jednoznaczne przekształcenie

$$\mathbf{T}: \quad \mathbf{x}^* = \mathbf{T} \{ \mathbf{x} \}$$

**a w szczególności przekształcenie liniowe
(afiniczne)**

$$\mathbf{T} \{ \mathbf{x} \} = \mathbf{T} \mathbf{x} + \mathbf{w}$$

$\mathbf{T}_{k \times k}$ - nieosobliwa macierz kwadratowa

$\mathbf{w}_{k \times 1}$ - wektor współczynników

**które odpowiada przesunięciu i obrotowi
układu współrzędnych**

(trajektoria stanu nie zmienia się!)

(A, B, C^T, D) nie jest realiz. minim.

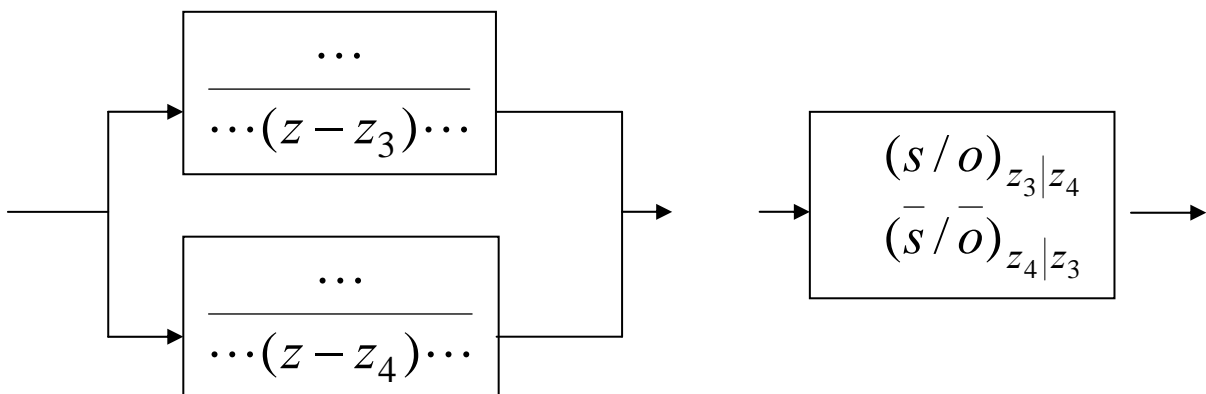
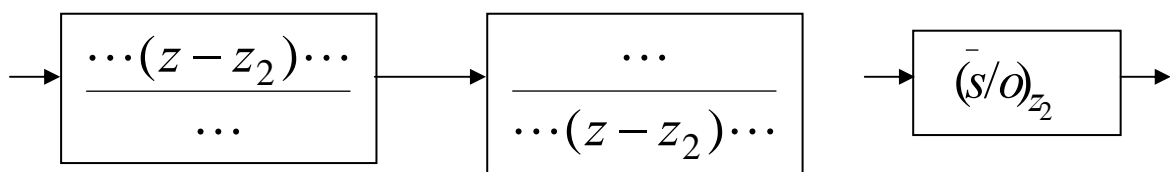
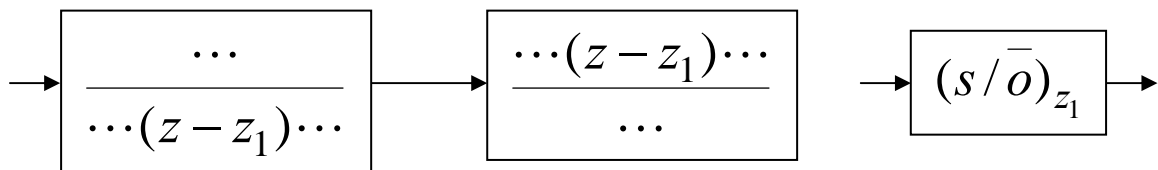
$$\Rightarrow R: R \in \{s/o, s/\bar{o}, \bar{s}/o, \bar{s}/\bar{o}\}$$

ale

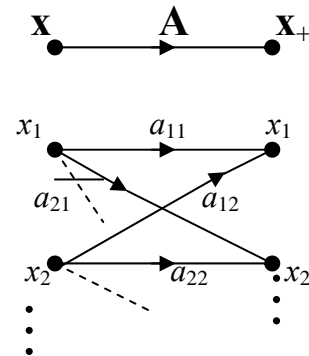
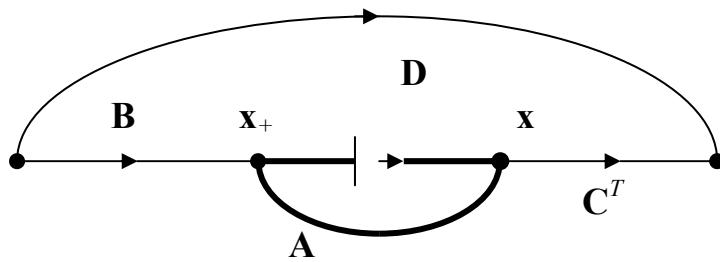
$$\mathbf{h}_n; \mathbf{H}(z) \equiv s/o$$

**Czy przy opisie we/wy
pojęcia osiągalności/sterowalności
obserwowalności/odtwarzalności
są bezprzedmiotowe ?**

\sum ukł. minim. $(s/o) \longrightarrow$
 \longrightarrow **układ nieminimalny (\bar{s}/\bar{o})**
[rzęd transm. < rzędu r. stanu]



Przekształcenia u. lin. stacjon.



$$R \in \mathcal{L}, \mathcal{N}$$

Równanie charakterystyczne A

$$\Delta(z) = \det[z\mathbf{I} - \mathbf{A}] = 0$$

**określa podstawowe własności dynamiczne
(bieguny układu / wartości własne macierzy A)**

**Def.: Układy równoważne – układy o takich
samyh równaniach charakterystycznych**

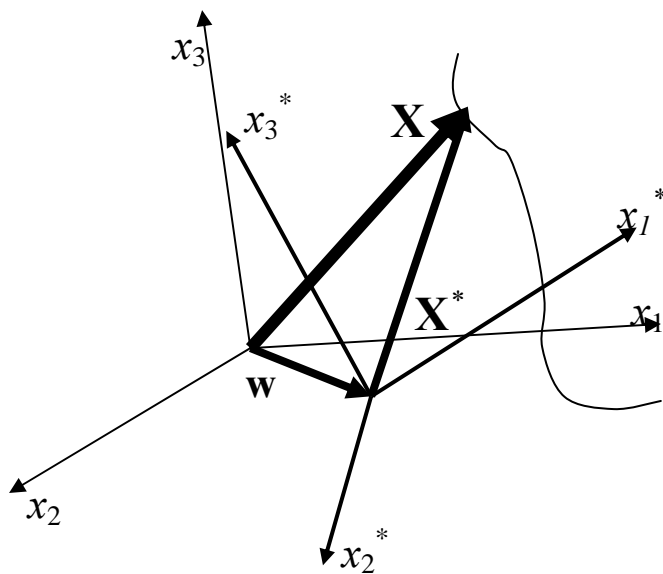
$$\Delta(z) = (z - z_1) \dots (z - z_\delta) = 0$$



**wszystkie bieguny
(bez skreśleń)**

**Przekształcenia tożsamościowe
→ Układów równoważnych
o różnych realizacjach
(strukturach)**

Interpretacja graficzna przekształcenia



trajektoria stanu

Zwykle przesunięcie $w=0$

Wówczas $\mathbf{x} = \mathbf{T}^{-1} \mathbf{x}^*$

$$\begin{cases} \mathbf{T}^{-1} \mathbf{x}_{n+1}^* = \mathbf{A} \mathbf{T}^{-1} \mathbf{x}_n^* + \mathbf{B} \mathbf{u}_n \\ \mathbf{y}_n = \mathbf{C}^T \mathbf{T}^{-1} \mathbf{x}_n^* + \mathbf{D} \mathbf{u}_n \end{cases}$$

$$\begin{cases} \mathbf{x}_{n+1}^* = \mathbf{T} \mathbf{A} \mathbf{T}^{-1} \mathbf{x}_n^* + \mathbf{T} \mathbf{B} \mathbf{u}_n \\ \mathbf{y}_n = \mathbf{C}^T \mathbf{T}^{-1} \mathbf{x}_n^* + \mathbf{D} \mathbf{u}_n \end{cases}$$

Równoważny opis

$$\mathbf{x}_{n+1}^* = \mathbf{A}^* \mathbf{x}_n^* + \mathbf{B}^* \mathbf{u}_n$$

$$\mathbf{y}_n = \mathbf{C}^{*T} \mathbf{x}_n^* + \mathbf{D}^* \mathbf{u}_n$$

$$\mathbf{A}^* = \mathbf{T} \mathbf{A} \mathbf{T}^{-1}$$

$$\mathbf{B}^* = \mathbf{T} \mathbf{B}$$

gdzie $\mathbf{C}^{*T} = \mathbf{C}^T \mathbf{T}^{-1}$ lub $\mathbf{T}^T \mathbf{C}^* = \mathbf{C}$

$$\mathbf{D}^* = \mathbf{D}$$

Równanie charakterystyczne A

$$\begin{aligned}\Delta^*(z) &= \det[z\mathbf{I} - \mathbf{A}^*] = \det[z\mathbf{I} - \mathbf{TAT}^{-1}] = \\ &= \det[z\mathbf{TIT}^{-1} - \mathbf{TAT}^{-1}] = \det[\mathbf{T}(z\mathbf{I} - \mathbf{A})\mathbf{T}^{-1}] = \\ &= \det \mathbf{T} \det[z\mathbf{I} - \mathbf{A}] \det \mathbf{T}^{-1} = \det[z\mathbf{I} - \mathbf{A}] = \\ &= \Delta(z) = 0\end{aligned}$$

Identyczne równanie, wartości własne (bieguny)

$$(\mathbf{A}, \mathbf{B}, \mathbf{C}, \mathbf{D}) \xrightarrow{\mathbf{T}} (\mathbf{A}^*, \mathbf{B}^*, \mathbf{C}^*, \mathbf{D}^*)$$

Pożądane własności
(prosta struktura \equiv
zerowe elementy)

Bilans niewiadomych

A)	$\mathbf{A}^* = \mathbf{TAT}^{-1}$	$k \times k$	równań	$2k^2$	niewiad.
B)	$\mathbf{B}^* = \mathbf{TB}$	$k \times p$	równań	$kp (+ k^2)$	niewiad.
C)	$\mathbf{C}^{*T} = \mathbf{C}^T \mathbf{T}^{-1}$	$q \times k$	równań	$qk (+ k^2)$	niewiad
		<hr/>		<hr/>	
		$k(k + p + q)$		$k(2k + p + q)$	

k^2 współczynników w $(\mathbf{A}^*, \mathbf{B}^*, \mathbf{C}^*)$ i (\mathbf{T}) można ustalić (wyzerować)

Przykład SISO

$$\mathbf{A} = \begin{bmatrix} a_{11} & a_{12} \\ a_{21} & a_{22} \end{bmatrix} \quad \mathbf{b} = \begin{bmatrix} b_1 \\ b_2 \end{bmatrix} \quad \mathbf{c} = \begin{bmatrix} c_1 \\ c_2 \end{bmatrix}$$

Przyjmijmy $\mathbf{T} = \begin{bmatrix} t_{11} & t_{12} \\ t_{21} & t_{22} \end{bmatrix}$

$$\text{a) } \mathbf{A}^* \mathbf{T} = \mathbf{T} \mathbf{A} \quad \begin{cases} a_{11}^* t_{11} + a_{12}^* t_{21} = t_{11} a_{11} + t_{12} a_{21} \\ a_{11}^* t_{12} + a_{12}^* t_{22} = t_{11} a_{12} + t_{12} a_{22} \\ a_{21}^* t_{11} + a_{22}^* t_{21} = t_{21} a_{11} + t_{22} a_{21} \\ a_{21}^* t_{12} + a_{22}^* t_{22} = t_{21} a_{12} + t_{22} a_{22} \end{cases}$$

$$\text{b) } \mathbf{b}^* = \mathbf{T} \mathbf{b} \quad \begin{cases} b_1^* = t_{11} b_1 + t_{12} b_2 \\ b_2^* = t_{21} b_1 + t_{22} b_2 \end{cases}$$

$$\text{c) } \mathbf{T}^T \mathbf{c}^* = \mathbf{D} \quad \begin{cases} c_1^* t_{11} + c_2^* t_{21} = c_1 \\ c_1^* t_{12} + c_2^* t_{22} = c_2 \end{cases}$$

8 r-ń, 12 niewiadomych

A - ustalamy 4 z 8 niewiadomych (tak, aby $\mathbf{A}^* \mathbf{T} = \mathbf{T} \mathbf{A}$)

b - jednoznaczne rozwiązanie $\mathbf{b}^* = \mathbf{T} \mathbf{b}$

c - jednoznaczne rozwiązanie $\mathbf{c}^* = \mathbf{T}^{-T} \mathbf{D}$

Przekształcenie $\mathcal{T} = T$, któremu podlega A nazywamy transformacją podobieństwa

Macierze podobne: $(A, A^*) \quad (A^*, A)$

$$A^* = T A T^{-1} \quad A = T^{-1} A^* T$$

(T nieosobliwe!)

(1) identyczne r. charakterystyczne
 $\Delta(z) = 0$ (własności dynamiczne)

(2) identyczne transmitancje

$$\begin{aligned} H^*(z) &= c^{*T} [zI - A^*]^{-1} B^* + D^* = \\ &= c^T T^{-1} [zI - T A T^{-1}]^{-1} T B + D = \\ &= c^T [zI - A]^{-1} B + D = H(z) \end{aligned}$$

(3) równość śladów

$$tr A^* = \sum_{i=1}^k a_{ii}^* = \sum_{i=1}^k a_{ii} = tr A$$

(4) równość wyznaczników

$$\det A^* = \det A$$

(5) Identyczna sterowalność

$$\begin{aligned} \mathbf{H}^* &= [\mathbf{B}^* \ \mathbf{A}^* \mathbf{B}^* \dots \mathbf{A}^{*j-1} \mathbf{B}^*] = \\ &= [\mathbf{T}\mathbf{B} \ \mathbf{T}\mathbf{A}\mathbf{T}^{-1}\mathbf{T}\mathbf{B} \dots (\mathbf{T}\mathbf{A}\mathbf{T}^{-1})^{k-1}\mathbf{T}\mathbf{B}] = \\ &= [\mathbf{T}\mathbf{B} \ \mathbf{T}\mathbf{A}\mathbf{B} \dots \mathbf{T}\mathbf{A}^{k-1}\mathbf{B}] = \\ &= \mathbf{T}[\mathbf{B} \ \mathbf{A}\mathbf{B} \dots \mathbf{A}^{k-1}\mathbf{B}] = \mathbf{T}\mathbf{H} \end{aligned}$$

$$\mathbf{T} - \text{nieosobliwe} \Rightarrow \text{rank} \mathbf{H}^* = \text{rank} \mathbf{H}$$

STEROWALNOŚĆ NIE ZALEŻY OD WYBORU BAZY

(6) Identyczna obserwowalność

$$\begin{aligned} \mathbf{G}^* &= \begin{bmatrix} \mathbf{C}^{*T} \\ \mathbf{C}^* \mathbf{A}^* \\ \vdots \\ \mathbf{C}^{*T} \mathbf{A}^{*k-1} \end{bmatrix} = \begin{bmatrix} \mathbf{C}^T \mathbf{T}^{-1} \\ \mathbf{C}^T \mathbf{T}^{-1} \mathbf{T} \mathbf{A} \mathbf{T}^{-1} \\ \vdots \\ \mathbf{C}^T \mathbf{T}^{-1} (\mathbf{T} \mathbf{A} \mathbf{T}^{-1})^{k-1} \end{bmatrix} = \\ &= \begin{bmatrix} \mathbf{C}^T \\ \mathbf{C}^T \mathbf{A} \\ \vdots \\ \mathbf{C}^{*T} \mathbf{A}^{k-1} \end{bmatrix} \mathbf{T}^{-1} = \mathbf{G} \mathbf{T}^{-1} \end{aligned}$$

$$\det \mathbf{T} \neq 0 \rightarrow \text{rank} \mathbf{G}^* = \text{rank} \mathbf{G}$$

OBSERWOWALNOŚĆ NIE ZALEŻY OD WYBORU BAZY

() Macierz przekształcenia

$$(A, B, C) \rightarrow (H, G) \quad (A^*, B^*, C^*) \rightarrow (H^*, G^*) \text{ albo}$$

$$T = H^* H^{-1} \quad \text{lub} \quad T = G^{*-1} G$$

$$L = H H^{*-1} \quad \text{lub} \quad L = G^{-1} G^*$$

Postacie kanoniczne

$$(A, B, C, D) \rightarrow (A, B, C, D)^*$$

prosta postać

prosta analiza

prosta realizacja

Najprostsze postacie

- **diagonalna (pojedyncze w.wł.)**
- **Jordana (wielokrotne wartości wł.)**
- **trójkątna**
- **diagonalno – wierszowa/ kanoniczna**
- **diagonalno – kolumnowa / kanoniczna.**

Postać diagonalna

(A, b, c, d)

(SISO)

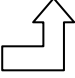
$$\Delta(z) = \det[zI - A] = \prod_{i=1}^k (z - z_i) = \Delta^*(z)$$

$$A^* = \text{diag}[a_i]_{k \times k} = \begin{bmatrix} z_1 & 0 & \cdots & 0 \\ 0 & z_2 & \cdot & 0 \\ \vdots & \cdot & \ddots & \vdots \\ 0 & 0 & \cdots & z_k \end{bmatrix} \quad \text{wówczas}$$

$$H^* = \begin{bmatrix} b_1^* & b_1^* z_1 & \cdots & b_1^* z_1^{k-1} \\ b_2^* & b_2^* z_2 & \cdots & b_2^* z_2^{k-1} \\ \vdots & \vdots & \ddots & \vdots \\ b_k^* & b_k^* z_k & \cdots & b_k^* z_k^{k-1} \end{bmatrix} =$$

$$= \begin{bmatrix} b_1^* & 0 & \cdots & 0 \\ 0 & b_2^* & \cdots & 0 \\ \vdots & \vdots & \ddots & \vdots \\ 0 & 0 & 0 & b_k^* \end{bmatrix} \begin{bmatrix} 1 & z_1 & \cdots & z_1^{k-1} \\ 1 & z_2 & \cdots & z_2^{k-1} \\ \vdots & \vdots & & \vdots \\ 1 & z_k & \cdots & z_k^{k-1} \end{bmatrix}$$

$$G^* = \begin{bmatrix} c_i^* & c_2^* & \cdots & c_k^* \\ c_i^* & c_2^* z_2 & \cdots & c_k^* z_k \\ \vdots & \vdots & & \vdots \\ c_i^* z_1^{k-1} & c_2^* z_2^{k-1} & \cdots & c_k^* z_k^{k-1} \end{bmatrix} =$$

$$= \begin{bmatrix} 1 & 1 & \cdots & 1 \\ z_1 & z_2 & \cdots & z_k \\ \vdots & \vdots & & \vdots \\ z_1^{k-1} & z_2^{k-1} & \cdots & z_k^{k-1} \end{bmatrix} \text{diag} \begin{bmatrix} c_i^* \\ c_2^* \\ \vdots \\ c_k^* \end{bmatrix}$$


Macierz Vandermonde'a V

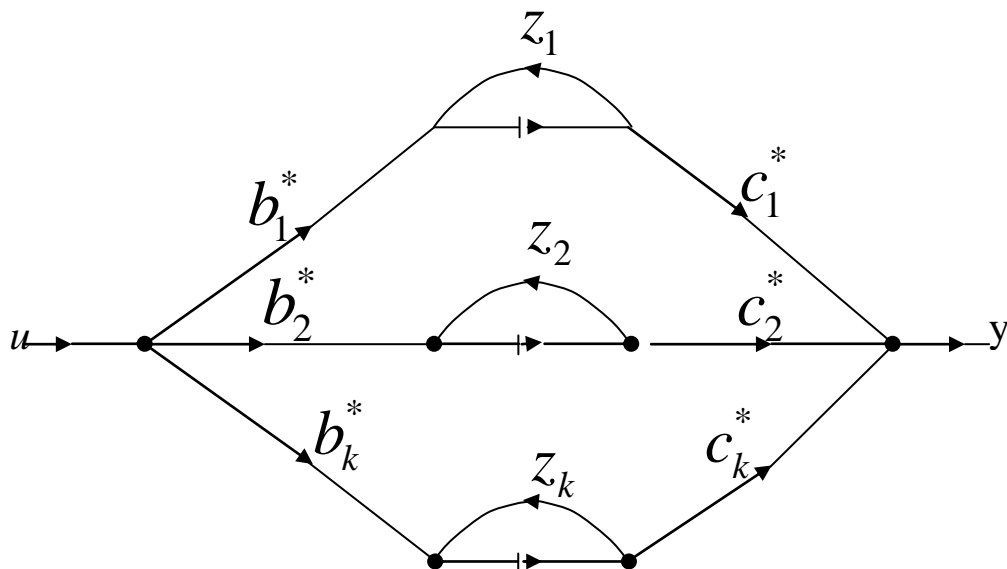
$$\det V \neq 0 \quad \text{dla} \quad z_i \neq z_j$$

Sterowalność $\Leftrightarrow (b_i^* \neq 0, \forall i)$

Obserwowalność $\Leftrightarrow (c_i^* \neq 0, \forall i)$

(*) $R = (A^*, b^*, c^*, d)$

(*) k niezależnych układów 1 rzędu



$R \in R_{s/o} \Leftrightarrow$ każdy mod jest sterow./obserw.

Lemat: Układ 1 rzędu jest sterowalny jeśli można na niego oddziaływać
 $(b_i^* \neq 0)$

Lemat: Układ 1 rzędu jest obserwowalny jeśli sygnał wyjściowy jest dostępny dla pomiaru $(c_i^* \neq 0)$

Zasady przekształcania (centroafin.)

$$A^* = TAT^{-1} = L^{-1}AL$$

lub

$$A^*T = TA \quad LA^* = AL$$

- **Metoda wyznacznikowa**

$$L = \begin{bmatrix} A_{111} & A_{211} & \cdots & A_{k11} \\ A_{112} & A_{212} & \cdots & A_{k12} \\ \vdots & \vdots & \ddots & \vdots \\ A_{11k} & A_{21k} & \cdots & A_{k1k} \end{bmatrix}$$

gdzie

$$A_{i1j} = (-1)^{1+j} \Delta_{i1j} \quad \text{dopełnienie algebraiczne z pierwszego wiersza}$$

$$\Delta_i = A - z_i I = \begin{bmatrix} a_{11} - z_i & a_{12} & \cdots & a_{1k} \\ a_{21} & a_{22} - z_i & \cdots & a_{2k} \\ \vdots & \vdots & \ddots & \vdots \\ a_{k1} & a_{k2} & \cdots & a_{kk} - z_i \end{bmatrix}$$

zaś

Δ_{i1j} jest minorem macierzy Δ_i uzyskanego po skreśleniu 1-wiersza i j -kolumny

Przykład

$$A = \begin{bmatrix} 4 & 2 \\ -3 & -1 \end{bmatrix}$$

$$\begin{aligned} \Delta(\lambda) &= \det[\lambda I - A] = \begin{vmatrix} \lambda - 4 & -2 \\ 3 & \lambda + 1 \end{vmatrix} \\ &= (\lambda - 4)(\lambda + 1) - 2(-1)3 = \lambda^2 - 3\lambda + 2 = \\ &= (\lambda - 1)(\lambda - 2) \quad \lambda_1 = 1 \quad \lambda_2 = 2 \end{aligned}$$

$$\Delta_1 = A - \lambda_1 I = A - I = \begin{bmatrix} 3 & 2 \\ -3 & -2 \end{bmatrix}$$

\Downarrow

$$A_{111} = -2 \quad A_{112} = 3$$

$$\Delta_2 = A - \lambda_2 I = A - 2I = \begin{bmatrix} 2 & 2 \\ -3 & -3 \end{bmatrix}$$

\Downarrow

$$A_{211} = -3 \quad A_{212} = 3$$

$$L = \begin{bmatrix} A_{111} & A_{211} \\ A_{112} & A_{212} \end{bmatrix} = \begin{bmatrix} -2 & -3 \\ 3 & 3 \end{bmatrix}$$

$$A^* = L^{-1}AL = \begin{bmatrix} 1 & 1 \\ -1 & -2/3 \end{bmatrix} \begin{bmatrix} 4 & 2 \\ -3 & -1 \end{bmatrix} \\ \begin{bmatrix} -2 & -3 \\ 3 & 3 \end{bmatrix} = \underline{\underline{\begin{bmatrix} 1 & 0 \\ 0 & 2 \end{bmatrix}}}$$

S p r a w d z e n i e

- **Metoda wektorów własnych** ($z_i \neq z_j$),

Ponieważ $LA^* = AL = A[L_1 \ L_2 \ \dots \ L_k]$

$$[L_1 \ L_2 \ \dots \ L_k] \begin{bmatrix} z_1 & 0 & \dots & 0 \\ 0 & z_2 & & \vdots \\ \vdots & \vdots & \ddots & \vdots \\ 0 & 0 & 0 & z_k \end{bmatrix} = \\ = [z_1 L_1 \ z_2 L_2 \ \dots \ z_k L_k]$$

Zatem

$$AL_i = z_i L_i \quad i=1,2,\dots,k$$

tzn. L_i jest wektorem własnym

odpowiadającym wartości własnej z_i :

Stosowany zapis:

$$(A - I\lambda_i)x_i = 0$$

NIETRYWIALNE ROZWIĄZANIE JEŚLI

$$\text{rank}(A - I\lambda) = k - 1$$

Stąd: L jest macierzą modalną złożoną z wektorów własnych macierz A

Ponieważ różnym λ_i odpowiadają liniowo niezależne L_i macierz jest nieosobliwa

Uwaga: L_i wyznacza jednozn. kierunek (długości $\|L_i\|$ mogą być różne)

Przykład

$$A = \begin{bmatrix} 4 & 2 \\ -3 & -1 \end{bmatrix}$$

$$\Delta(\lambda) = \det[\lambda I - A] = (\lambda - 1)(\lambda - 2)$$
$$\lambda_1 = 1 \quad \lambda_2 = 2$$

$$\Delta_1 L_1 = (A - \lambda_1 I) L_1 = (A - I) L_1 = 0$$

$$\Delta_2 L_2 = (A - \lambda_2 I) L_2 = (A - 2I) L_2 = 0$$

tzn.

$$\begin{bmatrix} 3 & 2 \\ -3 & -2 \end{bmatrix} \begin{bmatrix} l_{11} \\ l_{21} \end{bmatrix} = \begin{bmatrix} 0 \\ 0 \end{bmatrix} *$$

$$\begin{bmatrix} 2 & 2 \\ -3 & -3 \end{bmatrix} \begin{bmatrix} l_{12} \\ l_{22} \end{bmatrix} = \begin{bmatrix} 0 \\ 0 \end{bmatrix} *$$

Skąd

$$\begin{cases} 3l_{11} + 2l_{21} = 0 \\ l_{12} + l_{22} = 0 \end{cases}$$

**Przyjmując
otrzymujemy**

$$\left. \begin{matrix} l_{11} = 1 & l_{12} = 1 \\ l_{21} = -\frac{3}{2} & l_{22} = -1 \end{matrix} \right\} L = \begin{bmatrix} 1 & 1 \\ -\frac{3}{2} & -1 \end{bmatrix}$$

Sprawdzenie: $A^* = L^{-1} A L$

$$A^* = \begin{bmatrix} -2 & -2 \\ 3 & 2 \end{bmatrix} \begin{bmatrix} 4 & 2 \\ -3 & -1 \end{bmatrix} \begin{bmatrix} 1 & 1 \\ -\frac{3}{2} & -1 \end{bmatrix} \begin{bmatrix} 1 & 0 \\ 0 & 2 \end{bmatrix}$$

- Metoda transmitancyjna**

$$(A, b, c^T) \rightarrow \Delta(z) = \det[zI - A] = \prod_{i=1}^k (z - z_i)$$

$$\rightarrow G(z) = c^T [zI - A]^{-1} n =$$

$$= \frac{e_1}{z - z_1} + \frac{e_2}{z - z_2} + \dots + \frac{e_k}{z - z_k}$$

jednokrotne!

$$\rightarrow G^*(z) = c^{*T} [zI - A^*]^{-1} b^* =$$

$$= \begin{bmatrix} c_1^* \\ c_2^* \\ \vdots \\ c_k^* \end{bmatrix}^T \begin{bmatrix} z - z_1 & 0 & \cdot & 0 \\ 0 & z - z_2 & \cdot & 0 \\ \cdot & \cdot & \cdot & \cdot \\ 0 & 0 & \cdot & z - z_k \end{bmatrix}^{-1} \begin{bmatrix} b_1^* \\ b_2^* \\ \vdots \\ b_k^* \end{bmatrix} =$$

$$= \frac{c_1^* b_1^*}{z - z_1} + \frac{c_2^* b_2^*}{z - z_2} + \dots + \frac{c_k^* b_k^*}{z - z_k}$$

Skąd $\boxed{e_i = c_i^* b_i^*} \quad i=1, 2, \dots, k$

$$R \in R_{s/o} \Leftrightarrow c_i^* \neq 0, b_i^* \neq 0$$

Jeśli $c_i^* = 1 \quad i=1, \dots, k$

$$\left| \begin{array}{l} b_i^* := 1 \\ c_i^* = \dots \end{array} \right.$$

wówczas $b_i = \lim_{z \rightarrow z_i} (z - z_i) G(z)$

Przykład

$$G(z) = \frac{1}{z-1} + \frac{2}{z-2}$$

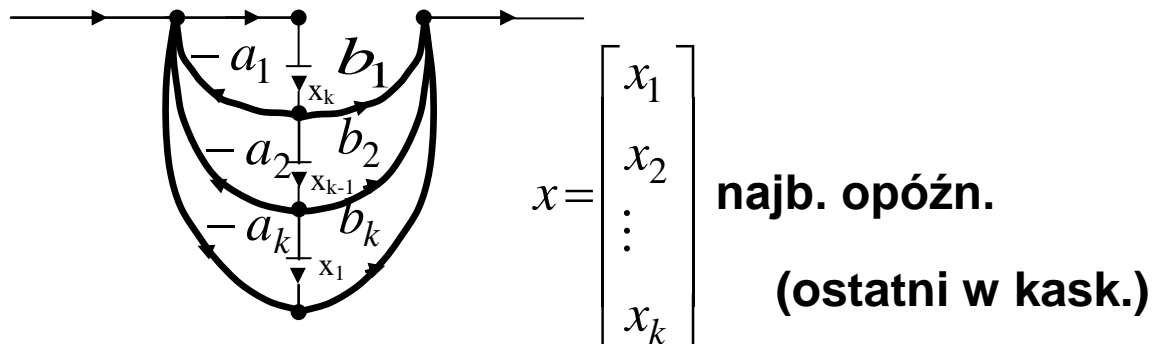
$$A^* = \begin{bmatrix} 1 & 0 \\ 0 & 2 \end{bmatrix} \quad b^* = \begin{bmatrix} 1 \\ 1 \end{bmatrix} \quad c^* = \begin{bmatrix} 1 \\ 2 \end{bmatrix}$$

Postacie normalne/kanoniczne

$$(A^*, b^*, c^{*T})$$

$$G(z) = \frac{b_1 z^{k-1} + b_2 z^{k-2} + \dots + b_k}{z^k + a_1 z^{k-1} + \dots + a_k}$$

- **Normalna postać regulatorowa
(diagonalno-wierszowa)**



$$A^* = \begin{bmatrix} 0 & 1 & \cdot & \dots & 0 \\ 0 & 0 & \ddots & & \vdots \\ \vdots & \vdots & \ddots & \ddots & \\ 0 & 0 & \dots & 0 & 1 \\ -a_k & -a_{k-1} & \dots & -a_2 & -a_1 \end{bmatrix}$$

$$b^* = \begin{bmatrix} 0 \\ \vdots \\ 0 \\ 1 \end{bmatrix} \quad c^* = \begin{bmatrix} b_k \\ b_{k-1} \\ \vdots \\ b_2 \\ b_1 \end{bmatrix}$$

M. sterowalności

$$H^* = [b^* \ A^* b^* \dots A^{*k-1} b^*] = \begin{bmatrix} 0 & \dots & 0 & 1 \\ \vdots & \ddots & \ddots & h_{nk} \\ 0 & 1 & \ddots & \\ 1 & h_{k2} & \dots & h_{kk} \end{bmatrix} \quad |\det H^*| = 1$$

Transformacja do postaci $(A^* \ b^* \ c^{*T})$

$$A^* = L^{-1} A L \quad \text{lub} \quad L A^* = A L$$

$$\begin{array}{l} \downarrow \\ [l_1 \dots l_k] \begin{bmatrix} 0 & 1 & \dots & 0 \\ \vdots & \ddots & \ddots & \vdots \\ 0 & \dots & 0 & 1 \\ -a_k & \dots & & -a_1 \end{bmatrix} = [Al_1 \dots Al_k] \end{array}$$

$Lb^* = b$
oraz $[l_1 \dots l_k] b^* = b$
 $l_k = b$

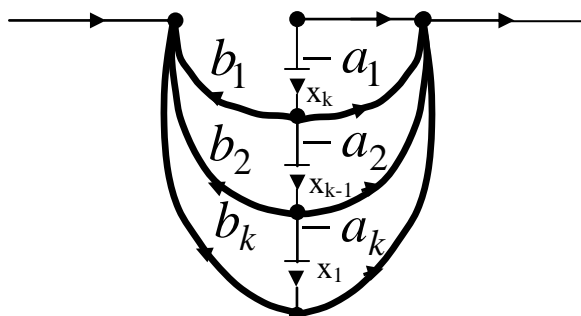
$$\begin{cases} l_{k-1} - a_1 l_k = Al_k \\ l_{k-2} - a_2 l_k = Al_{k-1} \\ \vdots \\ l_1 - a_{k-1} l_k = Al_2 \\ -a_k l_k = Al_1 \end{cases} \quad \begin{cases} l_k = b \\ l_{k-1} = Al_k + a_1 l_k \\ l_{k-2} = Al_{k-1} + a_2 l_k \\ \vdots \\ l_1 = Al_2 + a_{k-1} l_k \\ (0 = Al_1 + a_k l_k) \end{cases}$$

- sprawdzenie

Współczynniki a_i z równania char.

$$\Delta(z) = \det(zI - A) = z^k + a_1 z^{k-1} + \dots + a_k$$

- **Normalna postać obserwatorowa
(diagonalno-kolumnowa)**



$$x = \begin{bmatrix} x_1 \\ \vdots \\ x_k \end{bmatrix}$$

**pierwszy
w kask**

$$A^* = \begin{bmatrix} 0 & 0 & \cdots & 0 & -a_k \\ 1 & 0 & & \vdots & \vdots \\ 0 & 1 & \ddots & \vdots & \vdots \\ \vdots & \ddots & 1 & 0 & -a_2 \\ 0 & \cdots & 0 & 1 & -a_1 \end{bmatrix}$$

$$b^* = \begin{bmatrix} b_k \\ \vdots \\ b_2 \\ b_1 \end{bmatrix} \quad c^* = \begin{bmatrix} 0 \\ \vdots \\ 0 \\ 1 \end{bmatrix}$$

M. OBSERWOWALNOŚCI

$$G^* = \begin{bmatrix} c^{*T} \\ c^{*T} A^* \\ \vdots \\ c^{*T} A^{*k-1} \end{bmatrix} = \begin{bmatrix} 0 & \cdots & 0 & 1 \\ \vdots & \ddots & \ddots & g_{zk} \\ 0 & \ddots & \ddots & \vdots \\ 1 & g_{k2} & \cdots & g_{kk} \end{bmatrix} \Big| \det G^* \Big| = 1$$

Wyznaczenie transformacji podobieństwa

$$A^* = TAT^{-1}$$

$$A^*T = TA$$

$$\begin{bmatrix} 0 & \dots & \dots & 0 & -a_k \\ 1 & \ddots & \vdots & \vdots & \vdots \\ 0 & \ddots & \ddots & \vdots & \vdots \\ \vdots & \ddots & \ddots & 0 & -a_2 \\ 0 & \dots & 0 & 1 & -a_1 \end{bmatrix} \begin{bmatrix} t_1 \\ \vdots \\ \vdots \\ \vdots \\ t_k \end{bmatrix} = \begin{bmatrix} t_1 A \\ \vdots \\ \vdots \\ \vdots \\ t_k A \end{bmatrix}$$

oraz

$$c^{*T}T = c^T \quad T^T c^* T = c$$

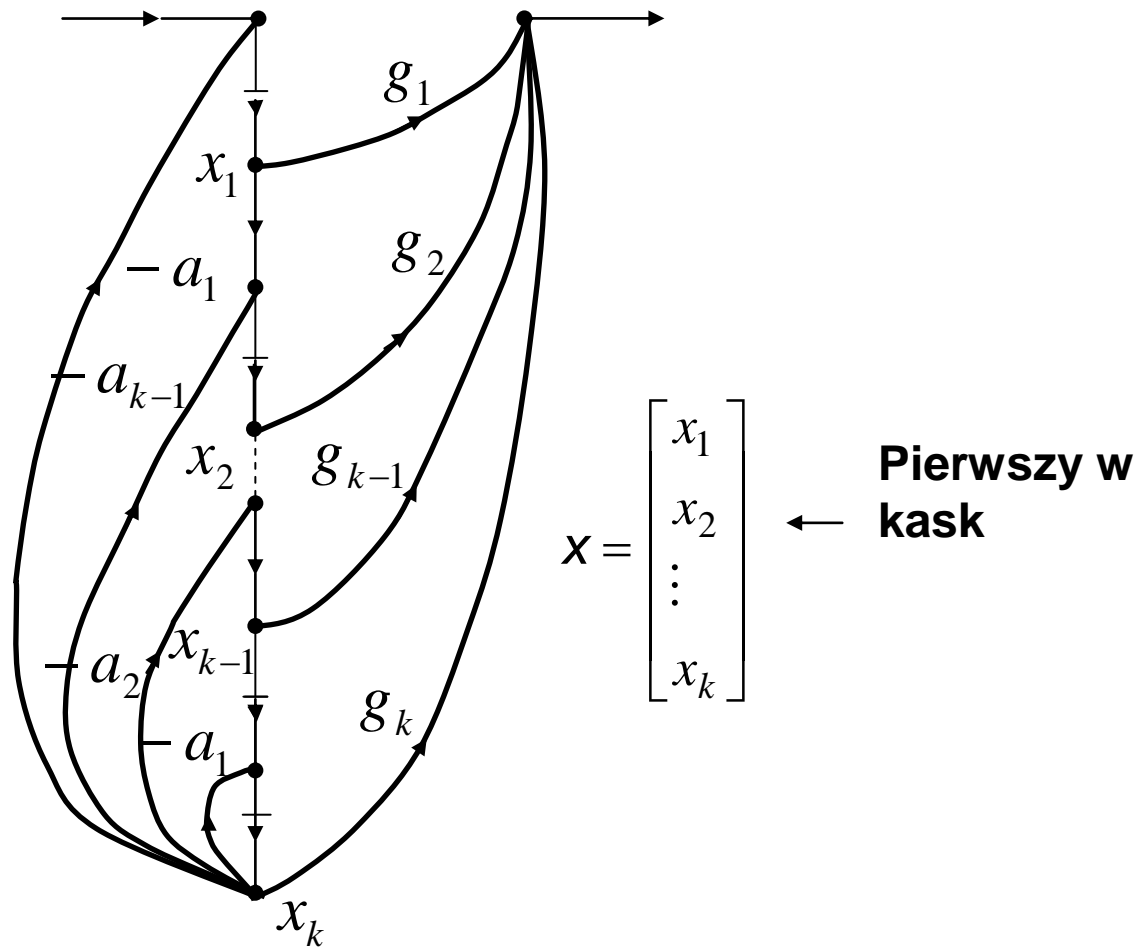
$$\begin{bmatrix} t_1^T & \dots & t_k^T \end{bmatrix} c^* = c$$

$$\left\{ \begin{array}{l} t_{k-1} - a_1 t_k = t_k A \\ t_{k-1} - a_2 t_k = t_{k-1} A \\ \vdots \\ t_1 - a_{k-1} t_k = t_2 A \\ -a_k t_k = t_1 A \end{array} \right. \quad \left\{ \begin{array}{l} t_k = c^T \\ t_{k-1} = t_k A + a_1 t_k \\ t_{k-2} = t_{k-1} A + a_2 t_k \\ \vdots \\ t_1 = t_2 A + a_{k-1} t_k \\ (0 = t_1 A + a_k t_k) \end{array} \right.$$

sprawdzenie

- **Normalna postać sterowalna (diagonalno-kolumnowa)**

$$G(z) = g_1 z^{-1} + g_2 z^{-2} + \dots + g_k z^{-k} +$$



$$A^* = \begin{bmatrix} 0 & \dots & 0 & -a_k \\ 1 & \ddots & \vdots & \vdots \\ \vdots & \ddots & 0 & -a_2 \\ 0 & \dots & 1 & -a_1 \end{bmatrix} \quad b^* = \begin{bmatrix} 1 \\ 0 \\ \vdots \\ 0 \end{bmatrix} \quad c^* = \begin{bmatrix} g_1 \\ \vdots \\ g_{k-1} \\ g_k \end{bmatrix}$$

M. STEROWALNOŚCI

$$H^* = \begin{bmatrix} b^* & A^* b^* & \dots & A^{*k-1} b^* \end{bmatrix} = \text{diag}\{1\} = I$$
$$\det H^* = 1$$

Transformacja podobieństwa

$$L = H H^{*-1} = H I = H = \begin{bmatrix} b & A b & \dots & A^{k-1} b \end{bmatrix}$$

skąd

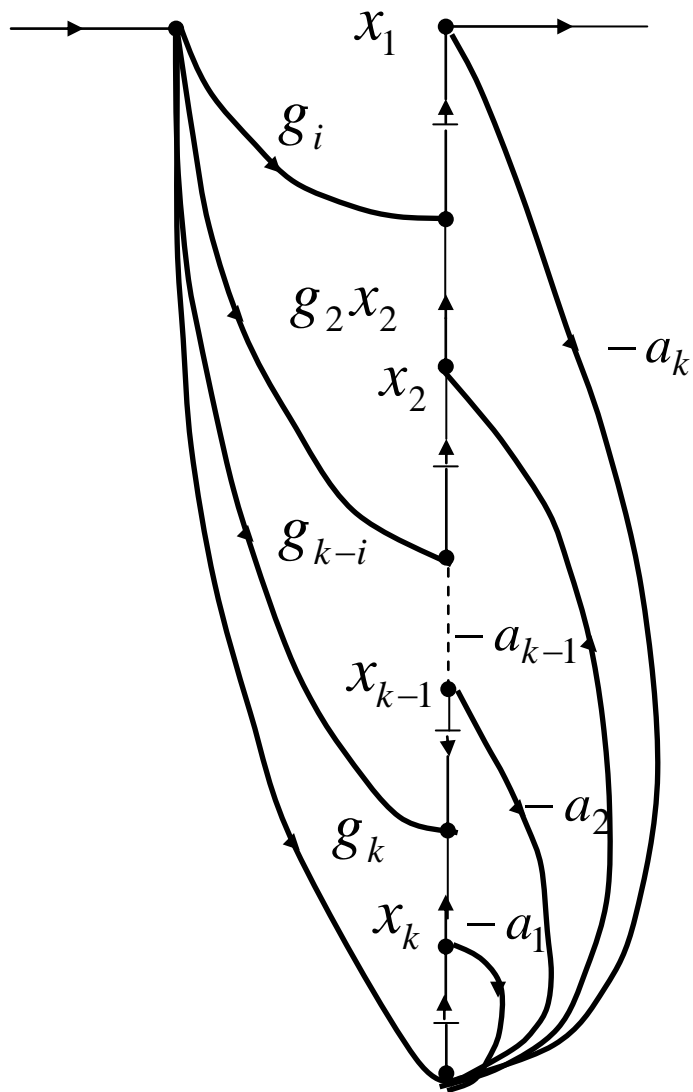
$$c^{*T} = c^T T^{-1} = c^T L = \begin{bmatrix} c^T b & c^T A b & \dots & c^T A^{k-1} b \end{bmatrix}$$

tzn.

$$c^{*T} = \begin{bmatrix} g_1 & g_2 & \dots & g_k \end{bmatrix}$$

skończony szereg k pierwszych próbek odpowiedzi impulsowej \mathcal{R}

- Normalna postać obserwowalna
(diagonalno-wierszowa)



$$A^* = \begin{bmatrix} 0 & 1 & 0 & \cdots & 0 \\ \vdots & \ddots & \ddots & \ddots & \vdots \\ \vdots & & \ddots & \ddots & 0 \\ 0 & 0 & \cdots & 0 & 1 \\ -a_k & -a_{k-1} & \cdots & -a_2 & -a_1 \end{bmatrix} \quad b^* = \begin{bmatrix} g_1 \\ g_2 \\ \vdots \\ g_k \end{bmatrix} \quad c^* = \begin{bmatrix} 1 \\ 0 \\ \vdots \\ 0 \end{bmatrix}$$

M. OBSERWOWALNOŚCI

$$G^* = \begin{bmatrix} c^{*T} \\ c^{*T} A^* \\ \vdots \\ c^T A^{k-1} \end{bmatrix} = \begin{bmatrix} 1 & 0 & \dots & 0 \\ 0 & \ddots & \ddots & \vdots \\ \vdots & \ddots & \ddots & 0 \\ 0 & \dots & 0 & 1 \end{bmatrix}$$

$$\det G^* = 1$$

Macierz przekształcenia

$$T = G^{*-1} G = I G = G \quad \text{tzn.}$$

$$T = \begin{bmatrix} c^T \\ C^T A \\ \vdots \\ C^T A^{k-1} \end{bmatrix}$$

Ponieważ

$$b^* = T b = \begin{bmatrix} c^T b \\ c^T A b \\ \vdots \\ c^T A^{k-1} b \end{bmatrix} = \begin{bmatrix} g_1 \\ g_2 \\ \vdots \\ g_k \end{bmatrix} \quad g_i = c^T A^{i-1} b$$